

مروری بر مبانی و روش‌های ساخت سریع روسازی فرودگاه

در شرایط اضطراری

مقاله پژوهشی

محمد رضا شیشه‌بران، دانش آموخته کارشناسی ارشد، دانشکده عمران، دانشگاه علم و صنعت ایران، تهران، ایران

محمد گلستانه^{*}، مربی، دانشکده و پژوهشکده پدافند غیرعامل، دانشگاه جامع امام حسین (ع)، تهران، ایران

^{*}پست الکترونیکی نویسنده مسئول: kpgolestn@ihu.ac.ir

دریافت: ۹۹/۰۱/۱۷ - پذیرش: ۹۹/۰۶/۰۵

صفحه ۹۳-۱۱۶

چکیده

فرودگاه‌ها یکی از مهم‌ترین مراکز حساس و حیاتی هستند که در شرایط جنگ، مورد تهاجم دشمن قرار می‌گیرند. بنابراین، در شرایط بحرانی نیاز به ساخت و توسعه سریع فرودگاه به منظور انجام نشست و برخاست هوایپماهای جنگی، انجام حملات نظامی، انتقال تجهیزات جنگی، نیروی انسانی و دیگر عوامل ضروری است. در این مطالعه به بررسی مواد، تکنولوژی‌ها و روش‌های ساخت سریع که تاکنون در ساخت روسازی فرودگاه استفاده شده است، پرداخته می‌شود. بدین منظور، روش‌های آنالیز سریع برای شناخت خصوصیات خاک محل، روش‌های آنالیز سریع کیفیت ساخت روسازی، الزامات طراحی روسازی‌های بدون رویه، روش‌های مقاوم‌سازی سریع خاک‌ها جبیت به کار گیری در ساخت سریع روسازی فرودگاه، کاربرد سیستم کفپوش (ماتینگ) در ساخت و توسعه سریع روسازی هلی پد، تاکسی وی، توقفگاه، خط پرواز، رویه هوایپماهای بدون سرنوشتین و همچنین امکان سنجی استفاده از مخلوط‌های سرد آسفالتی در ساخت سریع روسازی تاکسی وی و توقفگاه و عوامل تأثیرگذار بر مقاومت شیارشده‌گی مخلوط‌های سرد آسفالتی مورد بررسی قرار می‌گیرد.

واژه‌های کلیدی: آسفالت سرد، آنالیز سریع خاک، روسازی بدون رویه، کفپوش، هوایپمای بدون سرنوشتین

۱- مقدمه

راهکارهایی جهت کاهش زمان تعمیر این مراکز و همچنین روش‌های ساخت سریع فرودگاه‌ها برای شرایط اضطراری پرداخته شود. ساخت و توسعه سریع فرودگاه در موقعیت‌های حساس به منظور انجام نشست و برخاست هوایپماهای جنگی، انجام حملات نظامی، انتقال تجهیزات جنگی و نیروی انسانی و دیگر عوامل ضروری است.

۲- پیشینه تحقیق

ورود کشورها به عرصه جنگ انکارنایزیر است، با توجه به قرارگیری کشورمان در منطقه خاورمیانه که بخش عظیمی از منابع انرژی را در اختیار دارد، بروز مسئله تروریسم و ناامنی

بررسی موقعیت ویژه ایران و به دنبال آن حساسیت‌های گوناگون موجود در کشور، لزوم برنامه‌ریزی و پیش‌بینی طرح‌ها و اقدامات مختلف را با رویکرد دفاعی ضروری می‌سازد. بر اساس تئوری پنج حلقه واردن مهم‌ترین وظیفه در طرح‌ریزی جنگ شناسایی مراکز ثقل کشور مورد تهاجم بوده و چنانچه این مراکز با دقت لازم شناسایی و مورد هدف قرار گیرند، کشور مورد تهاجم در اولین روزهای جنگ، شکست خورده و در برابر خواسته‌های کشور متهاجم تسليم خواهد شد (Kameli et al., 2014). فرودگاه‌ها از جمله مراکز حساس و حیاتی می‌باشند که می‌توانند مورد تهاجم دشمن قرار گیرند، از همین رو باید در کنار انجام اقداماتی که موجب کاهش آسیب‌پذیری این مراکز می‌شود، به بررسی

تغییرات منحنی تراکم و منحنی CBR ارائه دادند. در این تحقیق از اطلاعات پایگاه دادهای WES^۲ (Station., 1999) برای ایجاد معادلات پیش‌بینی استفاده شده است (Berney, Ernest, & Wahl, 2008). نتایج این مطالعه در جدول (۱) نشان داده شده است.

جدول ۱. معادلات تعیین مشخصات خاک بر اساس آنالیز سریع
(Berney et al., 2008)

| رابطه | سطح انرژی | نوع خاک |
|--|-----------|-----------|
| OMC (%) = 9.0697 + 0.47874 * PL - 0.10135 * GSP (1) | CE-12 | خمیری |
| OMC (%) = 6.8455 + 0.36895 * PL - 0.1428 * GSP (2) | CE-55 | |
| OMC (%) = 15.038 - 0.096723 * GSP (3) | CE-12 | غیر خمیری |
| OMC (%) = 12.247 - 0.068758 * GSP (4) | CE-55 | |
| MDD (pcf) = 123.04 - 0.84733 * PL + 0.31392 * GSP (5) | CE-12 | خمیری |
| MDD (pcf) = 131.06 - 0.98307 * PL + 0.3645 * GSP (6) | CE-55 | |
| MDD (pcf) = 96.556 + 0.47188 * GSP (7) | CE-12 | غیر خمیری |
| MDD (pcf) = 102.07 + 0.46044 * GSP (8) | CE-55 | |
| LL = (PL - 9.1367) / 26.84 (9) | - | - |
| NDD = a NMC ⁴ + b NMC ³ + c NMC ² + d NMC + e (10) | - | - |
| CBR = a NMC ⁴ + b NMC ³ + c NMC ² + d NMC + e (11) | - | - |

GSP = 100 - (1/6) * (% finer #3/8 + % finer #4 + % finer #10 + % finer #40 + % finer #100 + % finer #200),
NMC = MC-OMC, NDD = DD/MDD و a, b, c, d = ضوابط تجربی

پروژه‌های مهندسی نظامی در سرتاسر جهان با مسائل کیفیت رویه رو هستند که به طور قابل ملاحظه‌ای به جدول زمان‌بندی کلی اضافه می‌کنند و بر خروجی مورد انتظار ساخت و ساز تأثیر می‌گذارند. کنترل درصد رطوبت بهینه، چگالی و CBR از مهم‌ترین پارامترهای کنترل کیفیت می‌باشند. انجمن مهندسین ارتش آمریکا، تست چکش ضربه‌ای را به عنوان جایگزین تست نفوذ مخروط دینامیکی برای تخمین سریع CBR خاک‌ها پیشنهاد دادند. رابطه، ۱۲، برای تخمین CBR خاک با استفاده از شاخص CIV^۳ بکار می‌رود (Freeman et al., 2008).

$$CBR = 0.05 CIV^2 + 0.53 CIV \quad (12)$$

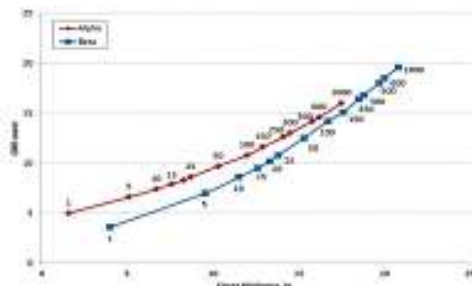
این رابطه، مقادیر CIV ≤ 40 را با دقت حدود ۱۰۰ درصد به CBR تبدیل می‌کند.

به‌ویژه در کشورهای همسایه ایران و تهدیدات روزافزون استکبار جهانی، انجام تحقیقات راهبردی راجع به سازه‌های سریع الاحادیت چهت حفظ زمان در موقعیت اضطراری جنگ، ضروری است. بر اساس سند راهبردی پدافند غیرعامل یکی از اهداف عملیاتی در این راستا، تسريع بازسازی و احیاء مکان‌های آسیب‌دیده و ساخت سریع آن‌ها به منظور تداوم Passive Defense Organaziation، (2012)، بنابراین بررسی مواد و تکنولوژی‌هایی که قابلیت ساخت سریع فروندگاه‌ها را فراهم می‌سازند ضروری به نظر می‌رسد. کشورهای مختلف از جمله هند، استرالیا و به‌ویژه مرکز تحقیق و توسعه ارتش مهندسین آمریکا تحقیقات گسترشده‌ای را در زمینه ساخت سریع فروندگاه‌ها انجام داده‌اند، که بیانگر اهمیت این موضوع است.

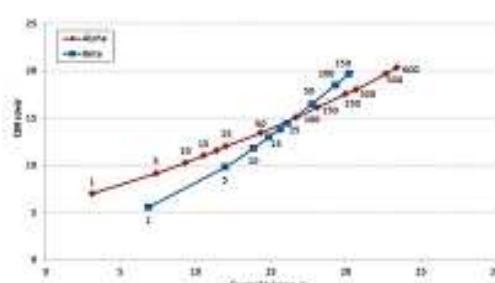
۳- روش‌های آنالیز سریع خاک

مشخصات خاک به طور قابل ملاحظه‌ای در فرآیند طراحی سازه‌ای روسازی فروندگاه تأثیرگذار است. در ساخت سریع فروندگاه، برای شناسایی خصوصیات خاک محل فقط چند ساعت زمان در اختیار خواهد بود. مهم‌ترین مشخصات خاک که برای طراحی مورد نیاز است عبارت‌اند از درصد رطوبت بهینه (OMC)، چگالی خشک ماکریم (MDD) و نسبت Manual، 1992؛ Proctor، (CBR) برابری کالیفرنیا (CBR) ۱۹۳۳. مطالعات متعددی به منظور تخمین پارامترهای تراکم خاک انجام شده است، در این مطالعات از شاخص خمیری (PI)، حد روانی (LL) و پارامتر اندازه ذرات (GSP)^۴ چهت تعیین اطلاعات تراکم خاک استفاده شده است (Jeng & Strohm, 1976؛ Johnson & Sallberg, 1960؛ Ring, 1962؛ Sherman & Hadjidakis, 1962). در طراحی روسازی، اطلاع از روند تغییرات چگالی خشک در برابر درصد رطوبت (منحنی تراکم) و همچنین روند تغییرات CBR در برابر درصد رطوبت (منحنی CBR)، از مهم‌ترین اطلاعات مورد نیاز است. اما در هیچ‌یک از مطالعات فوق الذکر رابطه‌ای برای پیش‌بینی رفتار منحنی تراکم و منحنی CBR خاک‌ها ارائه نشده است. مرکز تحقیق و توسعه ارتش آمریکا مطالعات جامعی را به منظور پیش‌بینی اطلاعات تراکمی خاک، بر اساس سطوح انرژی مختلف و خصوصیات چسبندگی خاک‌ها مبتنی بر شاخص حد خمیری (PL) و GSP ارائه کرده است. همچنین آن‌ها روابطی را برای پیش‌بینی روند

مطالعه نشان می‌دهد که میانگین تعداد عبور مجاز هوایپمایی C-17 بر اساس معیار گسختگی تغییرشکل کمتر از ۳ اینچ بر روی نوار آزمون با مقادیر CBR برابر ۱۲، ۹ و ۱۵ به ترتیب ۲، ۷۳ و ۱۷ بار عبور، است. در حالی که بر اساس رابطه (۱۳) تعداد عبور ترافیک هوایپمایی C-17 برای خاک با مقادیر CBR برابر ۱۲، ۹ و ۱۵ به ترتیب ۱، ۶ و ۳۰ است. مقایسه نتایج به دست آمده از گراف و آزمایشات تمام مقیاس، بیانگر مقادیر محافظه‌کارانه معادله (۱۳) برای هوایپمایی C-17 است. مرکز تحقیق و توسعه ارتش آمریکا، بر اساس روش طراحی- β CBR- β ، گراف‌های نشان داده شده در شکل (۲) تا شکل (۵) و جدول (۲) را جهت طراحی رو سازی بدون رویه در زمان پرواز هوایپمایی طرح C-130 و C-17 ارائه دادند. در این گزارش معیار خرابی رویه سنگدانه‌ای برمبنای وقوع تغییر شکل‌های بیشتر از ۳ اینچ در خاک بستر است. لازم به ذکر است که روش طرح CBR تنها برای مقادیر CBR کمتر از ۲۰ از دقت قابل قبولی برخوردار است. همچنین نتایج روش طرح CBR- β در مقایسه با روش طرح CBR- α دارای ضریب اطمینان بالاتر و محافظه‌کارانه است (Bianchini & Gonzalez, 2014).



شکل ۲. چارت طراحی مشخصات کاور برای خاک بستر با CBR=3 و هوایپمایی C-130 برای تعداد عبور مشخص (Bianchini & Gonzalez, 2014)



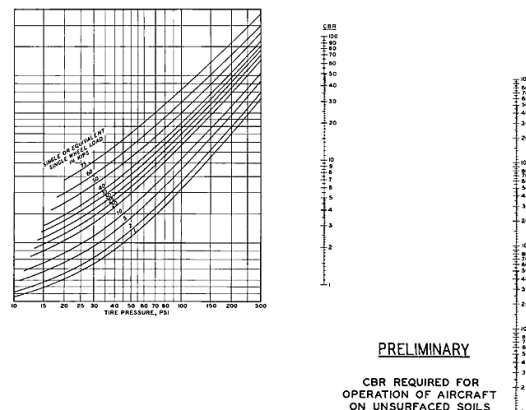
شکل ۳. چارت طراحی مشخصات کاور برای خاک بستر با CBR=3 و هوایپمایی C-17 برای تعداد عبور مشخص (Bianchini & Gonzalez, 2014)

۴- فرودگاه‌های بدون رویه (رویه سنگدانه‌ای)

همیت و همکاران، بر اساس نتایج مطالعه راد در سال ۱۹۷۰ (Ladd, 1970)، مطالعه تامپسون در سال ۱۹۶۰ (Thompson & Burns, 1960) آزمایشات تمام مقیاس به منظور بررسی عملکرد رو سازی با رویه سنگدانه‌ای است، رابطه (۱۳) و گراف نشان داده شده در شکل (۱) را برای طراحی رو سازی‌های بدون رویه پیشنهاد دادند، که فقط برای مقادیر CBR<20 صادق است. این رابطه با اقتباس از روش CBR- α در طرح رو سازی‌های انعطاف‌پذیر به دست آمده است. در این معادله معیار خرابی رویه سنگدانه‌ای برمبنای وقوع تغییر شکل‌های بیشتر از ۳ اینچ در خاک بستر است (Hammitt & Aspinall III, 1970).

$$t = (0.176 \log c + 0.12) \sqrt{\frac{P}{8.1(CBR)} - \frac{A}{\pi}} \quad (13)$$

در این رابطه t: ضخامت لایه پوششی (in), c: تعداد عبور هوایپمای طرح, P: بار چرخ منفرد معادل (IIb) و سطح تماس تایر با رو سازی (in.²) است.

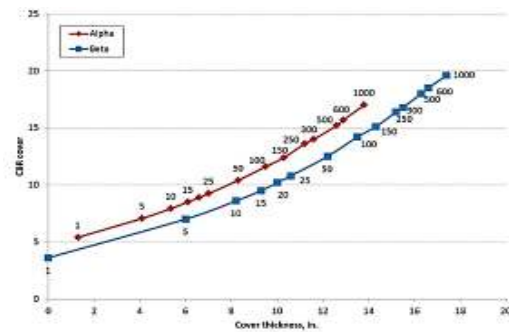


شکل ۱. نموگراف تعیین CBR موردنبیاز برای طراحی رو سازی با رویه سنگدانه‌ای به ازای تغییر شکل بزرگ‌تر از ۳ اینچ (Hammitt & Aspinall III, 1970)

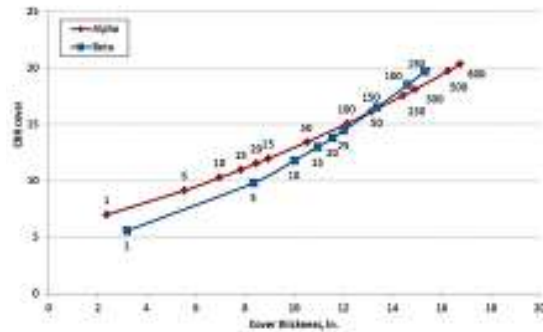
ویلیام و همکاران (Grogan & Tingle, 1999) با ساخت سه نوار آزمون با مقادیر CBR برابر ۱۲، ۹ و ۱۵ به عمق ۳۶ اینچ، تعداد عبور ترافیک هوایپمایی C-17 را بر اساس انجام آزمایشات تمام مقیاس تعیین کردند. نتایج این

جدول ۲. تعداد عبور مجاز ترافیک هوایپمای طرح C-130 و C-17 بر روی روسازی سنگدانه‌ای با ۲۰^۲ با ضخامت کاور صفر (Bianchini & Gonzalez, 2014)

| تعداد عبور مجاز ، C-130 | | تعداد عبور مجاز ، C-17 | | CBR خاک بستر |
|-------------------------|--------------|------------------------|--------------|--------------|
| CBR- α | CBR- β | CBR- α | CBR- β | |
| . | ۰/۱۶ | . | . | ۱ |
| . | ۰/۳۸ | . | ۰/۱۷ | ۲ |
| . | ۰/۷۱ | . | ۰/۳۱ | ۳ |
| ۱/۱۷ | ۱/۲۲ | . | ۰/۵۱ | ۴ |
| ۰/۶۳ | ۲/۰۳ | ۰/۱۳ | ۰/۷۹ | ۵ |
| ۱/۹ | ۳/۲۴ | ۰/۴۰ | ۱/۲ | ۶ |
| ۴/۷۶ | ۵/۱۰ | ۱ | ۱/۷۷ | ۷ |
| ۱۰/۶۰ | ۷/۸۴ | ۲/۱۰ | ۲/۶۰ | ۸ |
| ۲۱ | ۱۲ | ۴/۵۰ | ۳/۷۰ | ۹ |
| ۴۰ | ۱۸ | ۸/۶۰ | ۵/۳۴ | ۱۰ |
| ۱۲۱ | ۴۱ | ۲۶ | ۱۱ | ۱۲ |
| ۱۹۵ | ۶۲ | ۴۱ | ۱۵ | ۱۳ |
| ۳۰۵ | ۹۴ | ۶۴ | ۲۱ | ۱۴ |
| ۴۶۱ | ۱۴۲ | ۹۷ | ۳۰ | ۱۵ |
| ۶۷۹ | ۲۱۵ | ۱۴۴ | ۴۲ | ۱۶ |
| ۹۷۶ | ۳۲۷ | ۲۰۷ | ۶۰ | ۱۷ |
| ۱۳۷۶ | ۴۹۸ | ۲۹۱ | ۸۴ | ۱۸ |
| ۱۹۰۳ | ۷۶۴ | ۴۰۳ | ۱۱۹ | ۱۹ |
| ۲۵۸۹ | ۱۱۷۹ | ۵۴۸ | ۱۶۸ | ۲۰ |



شکل ۴. چارت طراحی مشخصات کاور برای خاک بستر با CBR=5 و هوایپمای C-130 برای تعداد عبور مشخص (Bianchini & Gonzalez, 2014)



شکل ۵. چارت طراحی مشخصات کاور برای خاک بستر با CBR=5 و هوایپمای C-17 برای تعداد عبور مشخص (Bianchini & Gonzalez, 2014)

آزمایشگاه تحقیقاتی نیروی هوایی آمریکا به انتخاب مؤثرترین روش ثبت خاک بستر به منظور افزایش مقاومت خاک‌های ضعیف طی ۷۲ ساعت برای فرودگاه‌های اضطراری پرداخت. نتایج این مطالعه نشان می‌دهد استفاده از سیمان پرتلند نوع ۳ به میزان ۵ درصد وزن خشک خاک همراه با الیاف پلی پروپیلن، به میزان یک درصد وزن خشک خاک باعث افزایش چشمگیر مقاومت فشاری محدود نشده خاک بستر با CBR<2 و همچنین افزایش انعطاف‌پذیری این مخلوط‌ها می‌گردد (Rafalko et al., 2006). بر اساس برنامه ساخت سریع روسازی فرودگاه‌ها (JRAC)، ثبت خاک‌ها با استفاده از فیبر پلی پروپیلن تکرشته‌ای و سیمان زود سخت شونده، به عنوان یک روش سریع و مؤثر برای افزایش CBR خاک‌ها بکار گرفته می‌شود. میزان مصرف سیمان و فیبر به ترتیب حدوداً ۴ الی ۵ درصد و ۰,۲ تا ۰,۴ درصد جرم خشک خاک پیشنهاد شده است. برای جلوگیری از آسیب رطوبتی، سطح خاک ثبت شده، با لایه‌ای از قیر امولسیون ضد آب

مرکز تحقیق و توسعه ارتش آمریکا به ساخت روسازی بدون رویه برای هوایپمای بوئینگ C-17 می‌پردازد. نتایج این مطالعه نشان می‌دهد که برای ۵۰۰ بار عبور هوایپمای طرح بر روی خاک بستر با CBR=10 به رویه‌ای با ضخامت ۱۵۰ میلی‌متر و لایه اساس با ضخامت ۱۷۵ میلی‌متر نیاز است. مقدار CBR و چگالی خشک ماکریم مورد نیاز برای رویه و اساس خط پرواز به ترتیب ۵۰ و ۹۸ درصد است. همچنین مقدار CBR و چگالی خشک ماکریم مورد نیاز برای رویه تاکسی‌وی و توقفگاه به ترتیب ۵۰ و ۹۸ درصد و برای اساس G. L. Anderton et al., 2008 به ترتیب ۱۰ و ۹۰ درصد است.

سه عامل نوع خاک، روش ثبت خاک و تعداد عبور غلتک پارامترهای تأثیرگذار در CBR خاک‌ها می‌باشند. در صورتی که نمی‌توان با دو پارامتر نوع خاک و تعداد عبور غلتک به CBR و چگالی خشک ماکریم طرح دست‌یافت، می‌توان از روش‌های ثبت خاک استفاده کرد (G. L. Anderton et al., 2008).

تامپسون و همکاران (Thompson & Burns, 1960) گراف‌هایی را مبنی بر روش طرح CBR برای طراحی سیستم کفپوش M-9 و M-8 را ارائه دادند. این گراف‌ها بر اساس وزن بار چرخ منفرد هوایپیما، فشار تایر، هدف طراحی (شرط اضطراری ۱۴ روزه برای ۴۰ کاوریج و یا طرح میان‌مدت ۶ ماهه برای ۷۰۰ کاوریج) و مشخصات کاور هستند. همچنین ایستگاه آزمایشگاهی ارتش مهندسین آمریکا کفپوش T7 را از آلیاژ منیزیم تولید کردند، که وزن واحد سطح آن نصف بلوک‌های فلزی سوراخ‌دار و مقاومت کششی و فشاری آن به ترتیب ۳۰ و ۵۰ درصد بیشتر از آن است. نتایج تست‌های انجام شده توسط WES، بر روی خاک‌هایی با مقاومت مختلف تحت ترافیک محور تک‌چرخ، با فشار ۲۰۰ پوند بر اینچ مربع، بیانگر عملکرد بهتر T7 نسبت به M8 و M9 است (Garrett & Horsley, 1957). در سال ۱۹۶۱ الی ۱۹۶۷ تلاش‌ها برای ساخت کفپوش سبک و با مقاومت بالا منجر به تولید کفپوش پلاستیکی خانواده T-X گردید، این سیستم از هسته‌ای آلومینیومی با چگالی بالا و دارای ساختار لانه‌زنبری که بین دو لایه فوم پوششی (از جنس پارچه شیشه‌ای تسليح شده با رزین فنولیک یا اپوکسی) قرار دارد تشکیل شده است و در چهار نوع T-11 (Brown, 1966)، T-12 (Turner, 1968)، T-13 (Green, 1968) و T-14 (Green, 1967) تولید می‌گردد. تغییر شکل خاک بستر و جابه‌جایی کفپوش بر روی خاک‌هایی با CBR=4 به ضخامت یک متر در زمان اعمال بار چرخ منفرد ۵۰۰۰۰ پوند با فشار ۲۵۰ پوند بر اینچ مربع مورد ارزیابی قرار گرفت. نتایج این ارزیابی نشان می‌دهد که این کفپوش‌ها بعد از کمتر از ۳۰ بار عبور ترافیک اعمال شده، دچار گسیختگی می‌شوند و استفاده از آن برای ساخت فروندگاه‌های موقتی پیشنهاد نمی‌گردد. در سال‌های بعد تلاش‌های زیادی برای ایجاد و اصلاح سیستم‌های کفپوش انجام شد، این تلاش‌ها منجر به تولید سیستم کفپوش آلومینیومی اکستروژن دو، سه و چهار تکه شد. طول هر تکه ۱۲ فوت و عرض آن ۸ اینچ و تکه‌ها با جوش به یکدیگر متصل شده‌اند. مروری بر تحقیقات انجام شده بر روی این سیستم‌های آلومینیومی نشان می‌دهد که تقریباً همه این سیستم‌ها با انجام آزمایشات تمام مقیاس بر روی خاک بستر به عمق ۶۰ سانتی متر مورد ارزیابی قرار گرفته‌اند. عملکرد سیستم‌های چند تکه آلومینیومی بر روی سه مقطع با مقادیر CBR برابر ۶، ۳ و ۱۰، تحت ترافیک هوایپیما فاتح

می‌گردد. همچنین خاک استفاده شده برای اساس و رویه باید از الک ۱۲,۵ میلی‌متر رد شده باشد تا از وقوع پدیده FOD (ورود و برخورد اجسام خارجی در اثر بلند شدن هلیکوپتر و هوایپیما) جلوگیری شود (Newman & White, 2008).

۵- کاربرد سیستم کفپوش در ساخت سریع روسازی فرودگاه

کفپوش‌های ساخته شده از مواد سبک، شامل مشاهی مفتولی، چوب روکش‌دار و فنس‌های دارای روکش و همچنین کفپوش‌هایی باصالح قوی تر فولادی و آلومینیومی برای اولین بار در سال ۱۹۴۵ به عنوان جایگزین آسفالت و بتون در ساخت روسازی فرودگاه استفاده شد. نتایج این مطالعات نشان می‌دهد که کفپوش‌های فولادی و آلومینیومی گزینه برتر هستند (Tolbert, 1945)؛ بلوک‌های فلزی سوراخ‌دار جزء اولین کفپوش‌هایی است که از عملکرد مناسبی برای تحمل وزن هواپیماهای سنگین ۵۰ هزار پوندی برخوردار بود. حدود ۸۰۰ میلیون فوت مربع از این کفپوش، در جنگ جهانی دوم مورداستفاده قرار گرفت (Robinson, 1992). سیستم کفپوش پارچه‌ای نیز در جنگ جهانی دوم، توسط مهندسین ارتش کانادا ایجاد شد، این نوع کفپوش از پارچه آغشته به قیس ساخته شده است و عمدها به عنوان پوششی ضد آب بر روی سطح خاک تثبیت شده بکار می‌رود. تمامی این سیستم‌ها عملکرد خوب خود را در موقعیت به کار گرفته‌شده، به اثبات رساندند، اما برای جنگنده‌های سنگین و بمباکن‌ها دارای عملکرد مناسبی نیستند (Dover, Anderson, & Brown, 2002).

ساخت هوایپیماهای جنگنده پیچیده‌تر، تحقیقات برای ایجاد سیستم‌های کفپوش قوی‌تری که بتواند وزن جنگنده‌های سنگین و بمباکن‌ها را نیز تحمل کرده و همچنین دارای پایداری و دوره عملکرد بیشتر و قابلیت استفاده مجدد باشند، آغاز شد. در سال ۱۹۵۱ کفپوش فولادی M-8 و کفپوش آلومینیومی M-9 در راستای دستیابی به این اهداف تولید شدند. برای اتصال پنل‌ها در راستای عرضی از اتصالات کشویی و برای اتصال پنل‌ها در راستای طولی از اتصالات مکانیکی استفاده شد.

سرعت اجرای سیستم کفپوش M-8 و M-9 به ترتیب برابر ۳۶۱ و ۳۹۷ فوت مربع در هر ساعت توسط مرد بالغ است (Passive Defense Organization, 2012).

۱-۱- کاربرد سیستم کفپوش در ساخت هلی پد

کفپوش‌های استفاده شده در پروژه JRAC جهت ساخت سریع هلی پد، عمدهاً عملکرد غیر سازه‌ای دارند و به منظور مقابله با پدیده FOD مورد استفاده قرار می‌گیرند. در شکل (۶) و جدول (۲) به ترتیب تصاویر و مشخصات سیستم‌های کفپوش غیرسازه‌ای استفاده شده در این پروژه جهت ساخت سریع هلی پد نشان داده شده است.



شکل ۶. کفپوش‌های بکاررفته در ساخت سریع هلی پد
(G. Anderton & Gartrell, 2005)

جدول ۳. مشخصات کفپوش سیستم‌های غیر سازه‌ای در ساخت سریع هلی پد (G. Anderton & Gartrell, 2005)

| نرخ پسرفت پروژه (ft ² /man-hr) | وزن واحد سطح (کیلوتر بر مترمربع) | تعداد پنل برای ساخت منطقه پرواز | مشخصات فنی | سیستم ماتینگ |
|---|---|--|---------------------------------|-----------------------------------|
| ۵۰۰ | ۱/۹ | ۱۲ پنل $4/2 \times 10$ متر | پارچه پلی استر بافت شده | Mobi-Mat |
| ۳۰۰ | ۴۲/۶ | ۵۰ پنل $2/4 \times 4/3$ متر | پلی اتیلن با چگالی بالا | Dura-Base |
| ۶۰۰ | ۷/۰ | ۲۴۵۰ پنل 914×229 میلی متر | مواد پلاستیکی پلی پروپیلن | Supa-Trac |
| ۳۰۰ | ۱۱/۸ | ۱۲۵ پنل $2/0 \times 2/0$ متر | فایبر گلاس لایه ۵ | MP Mat (GFI, 2006) |

F-4 با وزن ۶۰ هزار پوند، بار چرخ منفرد ۲۷۰۰۰ پوند و فشار تایر ۴۰۰ پوند بر اینچ مریع مورد بررسی قرار گرفت. نتایج ارزیابی‌ها نشان می‌دهد که این سیستم‌ها می‌توانند حدود ۳۲۰۰ بار عبور بار چرخ (۱۶۰۰ سیکل یا ۱۸۸ کاوریچ) را در خاک‌هایی با CBR برابر ۵, ۷ و بزرگ‌تر از آن تحمل نمایند (Brabston, 1967; Burns & Barker, 1966; White Jr, 1971, 1973). انجمن مهندسین ارش آمریکا، عملکرد پنل خرپایی توخالی ساخته شده با آلیاژ آلومینیوم بر روی مقاطع با CBR برابر ۴ به عمق ۶۰ سانتی‌متر را تحت ترافیک هوایمای طرح با وزن ۵۰ هزار پوند، فشار تایر ۲۵۰ پوند بر اینچ مریع تحت بار محور تک‌چرخ منفرد، مورد بررسی قرارداد. طول، عرض، ضخامت و چگالی این پنل به ترتیب ۹ فوت، ۲ فوت، ۱,۵ اینچ و ۶,۳ پوند بر اینچ مریع و ۷۷۸ فوت مریع از آن توسط یک مرد بالغ در یک ساعت قابل نصب است. پنل‌ها در عرض خود با استفاده از اتصالات I شکل و در طول خود با استفاده از اتصالات نر و مادگی به هم متصل می‌شوند. نتایج این بررسی‌ها نشان می‌دهد که این سیستم قادر به تحمل حداقل ۱۴۱۰ عبور بار چرخ منفرد با فشار تایر ۲۵۰ پوند بر اینچ مریع پیش از خرابی ۱۰ درصد پنل‌ها است (Foster & White Jr, 1974).

CBR، 1952 برای تعیین ضخامت روسازی انعطاف‌پذیر معادل که توسط سیستم کفپوش ایجاد می‌شود (t)، پیشنهاد دادند.

$$t = (0.23 \log c + 0.15) \sqrt{\frac{1}{P(8.1 \text{ CBR})} - \frac{1}{p\pi}} \quad (14)$$

که در آن، C تعداد کاوریچ هوایمای طرح (بدون واحد)، P بار چرخ منفرد معادل (Ib) و p فشار تایر (Psi).

زمانی که ضخامت معادل روسازی انعطاف‌پذیر سیستم کفپوش تعیین شد، معادله فوق برای تعیین تعداد کاوریچ مجاز بر اساس CBR خاک بازنویسی می‌شود و درنهایت تعداد عبور مجاز بار چرخ منفرد با داشتن نسبت عبور به کاوریچ (P/C)، برای تعداد کاوریچ محاسبه شده به دست خواهد آمد. روش طرح CBR فقط برای خاک‌های ضعیف (CBR<10) پیشنهاد می‌شود.

۳۰۰۰۰ پوند و فشار تایر ۹۵ پوند بر اینچ مربع، مورد ارزیابی قرار گرفتند:

Dura-Base, Multi-Purpose (MP), Rapid Mat, Rolla Road

کفپوش Rapid Mat از ۹ پنل جداگانه که با اتصالات مفصلی لولایی به هم متصل شده‌اند، تشکیل شده است. ابعاد هریک از پنل‌ها $1/8$ در $9/1$ متر است. این کفپوش وزن مرده بالای دارد و از همین رو برای جایه‌جایی آن به حداقل یک الی دو لیفتراک نیاز است. کفپوش Rolla Road از تولیدات کفپوش لاستیکی است که برای ورود و خروج وسایل تقلیل سنتگین طراحی شده است و به صورت رول شکل است که ابعاد آن $15/25$ در $2/4$ متر و وزن آن $38-45$ کیلوگرم در هر متر است (Newman, & Anderton, 2009).



شکل ۷. کفپوش‌های بکاررفته در ساخت سریع روسازی تاکسی
(G. Anderton & Gartrell, 2005)

وی و توقفگاه در ساخت سریع روسازی تاکسی (G. Anderton & Gartrell, 2005) در جدول (۴) تعداد عبور مجاز بار چرخ هواپیمای بوئینگ C-130 پیش از وقوع گسیختگی خاک بستر برای کفپوش‌های فوق الذکر نشان داده شده است. در این مطالعه نسبت P/C برابر ۱ است، به عبارت دیگر بار چرخ در یک مسیر مشخص و بدون جایه‌جایی حرکت می‌کند. این الگوی ترافیک بدترین حالت ممکن است، چراکه در عمل همواره شاهد جایه‌جایی در مسیر چرخ حرکت هواپیما هستیم.

جدول ۴. تعداد عبور مجاز بار چرخ هواپیمای C-130 بر روی سیستم کفپوش پیش از وقوع گسیختگی خاک بستر (Gartrell et al., 2009)

| تعداد عبور به ازای تغییر شکل ۳ اینچ در بستر (گسیختگی خاک بستر) | | | مشخصات فنی | سیستم کفپوش |
|--|----------|---------|------------------------|-------------|
| 40<CBR<50 | 8<CBR<10 | 3<CBR<5 | | |
| ۱۰۵ | ۲۵ | ۵ | بدون کفپوش | قطعه کترول |
| >۲۰۰۰ | >۲۰۰۰ | >۲۰۰۰ | پلی‌ایلن با چگالی بالا | Dura-Base |

نتایج تست‌های انجام شده نشان می‌دهد که هریک از این سیستم‌ها می‌توانند به طور موقتی آمیزی، بار هلی کوپتربوچ (CH-47, UH-60) را تحمل نمایند. وزن زیاد کفپوش Dura-Base و درنتیجه ایجاد محدودیت در انتقال تعداد پنل با هر هواپیما و نیاز به لیفتراک برای حمل و نقل آن را می‌توان از عوامل محدودکننده برای استفاده از این سیستم در ساخت سریع روسازی فرودگاه‌ها دانست. همچنین سیستم Supa-Trac علاوه‌بر از سایش و خرابی را تحت بارهای استاتیکی و دینامیکی از خود نشان می‌دهد و از این رو نیازمند ملاحظات بیشتری است تا بتوان از آن، جهت ساخت هلی پد در شرایط MP-Mat و Mobi-Mat اضطراری استفاده کرد. دو سیستم MP-Mat تمام شرایط مورد نیاز را برآورده می‌کنند، اما سیستم Mobi-Mat عملکرد بهتری را در ارتباط با شرایط خاک نرم در مقایسه با G. Anderton & Mobi-Mat از خود نشان می‌دهد (Gartrell, 2005).

۲-۵- کاربرد سیستم کفپوش در ساخت سریع تاکسی وی و توقفگاه

ساخت سریع تاکسی وی و توقفگاه منجر به افزایش MOG^۷ در فرودگاه‌ها می‌شود. پارامتر MOG تعداد حداکثر هواپیمایی است که می‌تواند فرودگاه را در یک زمان مشخص اشغال کند، بدون آنکه مسیرهای دسترسی سایر هواپیماها با خط پرواز فعل فرودگاه، تداخل داشته باشد. توسعه سریع پارکینگ و تاکسی وی برای فرودگاه، در برنامه‌ریزی جنگ به منظور به کارگیری سناریوهای مختلف بسیار مهم است، چراکه یکی از مهم‌ترین فاکتورهای محدودکننده در به کارگیری هواپیما در شرایط دشوار فضای پارکینگ و تاکسی وی مناسب برای هر هواپیما است، به طوری که هواپیما در شرایط دشوار بلافضله بعد از فرود بتواند خط پرواز را ترک کند تا هواپیمای بعدی بتواند فرود آید (G. Anderton & Gartrell, 2005).

بین سال‌های ۲۰۰۲ تا ۲۰۰۵ برنامه JRAC بر روی ساخت سریع تاکسی وی و توقفگاه متتمرکز شد. در فاز نخست این مطالعه، عملکرد کفپوش‌های زیر، بر روی خاک‌هایی با مقاومت بالا ($40 < \text{CBR} < 50$)، متوسط ($8 < \text{CBR} < 10$) و پایین ($3 < \text{CBR} < 5$) در زمان عبور هواپیمای C-130 با بار چرخ منفرد محور اصلی برابر

نتایج ارزیابی‌های انجام شده نشان می‌دهد که سیستم کفپوش Dura-Base، به عنوان گزینه برتر به منظور افزایش ظرفیت مقطع ساخته شده با خاک‌های SM و CH که در معرض بار هوایی‌مای بوئینگ C-17 قرار دارند، هستند. وزن زیاد و نیاز به لیفتراک برای حمل و نقل این سیستم را می‌توان از عوامل محدود کننده برای استفاده از این سیستم در ساخت سریع روسازی فرودگاه‌ها دانست (Gartrell, 2007).

دایل و همکاران (Doyle et al., 2012) به بررسی عملکرد کفپوش‌های مختلف در زمان اعمال ترافیک شبیه‌سازی شده بوئینگ C-17 بر روی سه مقطع با خاک‌های با مقاومت بالا (CBR<10) و متوسط (40<CBR<50)، متوسط (8<CBR<10) و ضعیف (3<CBR<5) با استفاده از مدل‌سازی اجزاء محدود سه‌بعدی پرداختند. مشخصات کفپوش‌ها در جدول (۶) نشان داده شده است. همچنین مدول الاستیستیه (M) برجهندگی خاک بستر نیز از رابطه تجربی (۱۵) که مبتنی بر CBR خاک‌ها است و یا رابطه تجربی (۱۶) که مبتنی بر ضریب عکس العمل بستر خاک است، بدست می‌آید (Barker & Gonzalez, 1991; Heukelom et al., 1991; Foster, 1962).

$$E = 110 \text{ (CBR)} \quad (15)$$

در این رابطه E مدول الاستیستیه خاک (kg/cm^2) است.

$$\text{Log} (M_R) = 1.415 + 1.284 \log (k) \quad (16)$$

در این رابطه M_R مدول برجهندگی خاک بر حسب پوند بر اینچ مربع و k ضریب عکس العمل بستر است.

عملکرد سیستم‌های کفپوش بر اساس اندازه‌گیری سطح تنفس در خاک بستر مورد ارزیابی قرار گرفت. نتایج مدل‌سازی Rolla Road و Rapid Mat نشان می‌دهد که سیستم کفپوش C-17 مناسب برای تحمل ترافیک هوایی‌مای بوئینگ C-17 نیست. سیستم کفپوش MP Mat تنها برای تحمل ترافیک هوایی‌مای بوئینگ C-17 در خاک‌هایی با مقاومت بالا و متوسط، دارای عملکرد مناسبی است. سیستم کفپوش Dura-Base دارای بهترین عملکرد بر روی خاک‌هایی با مقاومت بالا، متوسط و همچنین خاک‌های سست است. بین نتایج مدل‌سازی با تست‌های آزمایشگاهی که نیازمند صرف زمان و هزینه است اتفاقاً بسیار خوبی وجود دارد و به عنوان ابزاری پیش از ساخت نوار آزمون پیشنهاد شده است (Doyle et al., 2012).

| >۲۰۰۰ | ۳۳۰ | ۵۵ | فایبرگلاس | MP Mat |
|-------|-----|----|--------------------|------------|
| ۱۰۱۰ | - | - | فایبرگلاس فرشده | Rapid Mat |
| ۱۰۵۰ | - | - | پلیمری | Rolla Road |

همان‌طور که مشاهده می‌شود، سیستم کفپوش Base عملکرد بسیار خوبی را در تمامی شرایط دارا است و هیچ نشانه‌ای از شکست و یا خرابی اتصالات در آن مشاهده نمی‌شود. همچنین سیستم کفپوش MP Mat نیز عملکرد نسبتاً خوبی را از خود بهره‌زده در خاک‌های با مقاومت بالا، نشان می‌دهد. سیستم کفپوش Rolla Road و Rapid Mat تکیه‌گاه سازه‌ای مناسی برای بهبود عملکرد خاک نمی‌باشند و برای ساخت سریع تاکسی وی و توقفگاه توصیه نمی‌شوند (Gartrell et al., 2009).

در فاز دوم تحقیقات ساخت سریع تاکسی وی و توقفگاه، کفپوش‌های MP Mat و Dura-Base و MP Mat را که عملکرد قابل قبولی در زمان اعمال ترافیک شبیه‌سازی شده (SM) داشتند، بر روی مقطع با خاک ماسه سیلتی (SM) دارای مقاومت متوسط (8<CBR<10) و مقطع با خاک‌های رسی دارای خاصیت خمیری زیاد (CH) با مقاومت پایین (3<CBR<5)، در زمان اعمال بار چرخ هوایی‌مای غولپیکر بوئینگ C-17 با بار چرخ منفرد محور اصلی برابر ۳۴۲۷۰ پوند و فشار تایر ۱۴۲ پوند بر اینچ مربع، مورد ارزیابی قرار دادند. در جدول (۵) تعداد عبور مجاز بار چرخ هوایی‌مای بوئینگ C-17 پیش از وقوع گسیختگی خاک بستر برای کفپوش‌های فوق الذکر نشان داده شده است.

جدول ۵. تعداد عبور مجاز بار چرخ هوایی‌مای C-17 بر روی سیستم کفپوش پیش از وقوع گسیختگی خاک بستر (Gartrell, 2007)

| سیستم کفپوش | تعداد عبور به ازای تغییر شکل ۳ اینچ در بستر (گسیختگی خاک بستر) | تعداد عبور به ازای تغییر شکل ۳ اینچ در بستر (گسیختگی خاک بستر) |
|-------------|--|--|
| قطع کتلر | ۲۹ | ۳<CBR<5 |
| Dura-Base | >۲۰۰۰ | 8<CBR<10 |
| MP Mat | ۵۶۱ | 1 |

(Rushing, & Garcia, 2014). در طی عملیات حرارتی، آلومنیوم تا دمای حدود ۶۰۰ درجه سانتی گراد حرارت داده شده و سپس سرد می شود، طی این فرآیند عناصر منیزیم و سیلیس که بین ساختار شبکه ای آلومنیوم قرار گرفته اند، به داخل آلیاز آلومنیوم رسوب کرده و باعث افزایش استحکام آلیاز آلومنیوم می شوند (2000, AMS-H-6088). آلیاز AA6061 به دلیل قابلیت جوش پذیری بالا، نسبت بالای مقاومت به وزن، انعطاف پذیری زیاد، مقاومت زیاد در برابر خوردگی و وجود تناسب بین مقاومت و قابلیت اکستروژن، برای تولید مقاطع پیچیده به طور گسترده ای استفاده می شود و در کاربردهای سازه ای، این آلیاز عمده ای در اثر تکرار بارگذاری دچار شکست می شود (Epstein, Kaufman, 1994 & Pollak, 1994). طول، عرض، ضخامت، وزن و چگالی هر پنل کامل به ترتیب ۱۲ فوت، ۲ فوت، ۱,۵ اینچ، ۱۴۵ پوند و ۶,۱ پوند بر اینچ مربع است، همچنین طول، عرض، ضخامت و وزن هر نیمه پنل به ترتیب ۶ فوت، ۲ فوت، ۱,۵ اینچ و ۷۴ پوند است. هسته پنل های اکستروف شده شامل سخت کننده های عمودی I شکل، با فاصله ۱,۷۵ اینچ در جهت ۱۲ فوت است. پس از اکستروژن آلومنیوم، اتصالات عرضی ساخته شده با این آلیاز به انتهای پنل جوش داده می شوند، برای جوشکاری از روش اصطکاکی اغتشاشی FSW^۳ استفاده می شود. پنل ها دارای دو نوع اتصال مفصلي پوششی و نر و مادگی می باشند. همان طور که در شکل (۸) مشاهده می شود پنل ها در عرض خود (2 ft) با استفاده از اتصالات پوششی^{۱۰} و در طول خود (12 ft) با استفاده از اتصالات نر و مادگی^{۱۱} به هم متصل می شوند و بعد از آنکه اتصالات پوششی مونتاژ شد و در کنار هم قرار گرفت، یک میله مستطیل شکل توپر از جنس آلیاز آلومنیوم AA6061 در داخل شکاف تعییش شده در اتصالات مکانیکی پوشش و در عرض پنل (2 ft) قرار می گیرد تا از جایه جایی قائم پنل ها جلوگیری به عمل آید. همچنین سطح پنل با مواد ضد لغزش و ترمز به منظور افزایش زبری سطح پوشیده می شود (Garcia et al., 2016).

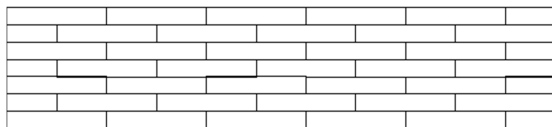
جدول ۶. مشخصات کفپوش های به کاررفته در ساخت تاکسی وی و توفگاه (Doyle et al., 2012).

| سیستم کفپوش | | | | | مشخصات |
|-------------|------------|------------|---------------|--|--------|
| Rapid Mat | Rolla Road | MP Mat | Dura-Base | | |
| فایبر گلاس | پلیمر | فایبر گلاس | با چگالی بالا | جنس | |
| ۹/۱۰ | ۲/۴۰ | ۲/۰۴ | ۲/۴۴ | عرض (متر) | |
| ۱۶/۵۰ | ۱۵/۳۰ | ۲/۰۴ | ۴/۲۷ | طول (متر) | |
| ۰/۶۴ | ۲/۵۴ | ۰/۹۵ | ۱۰/۸۰ | ضخامت (سانتی متر) | |
| - | - | ۰/۲۰ | ۰/۳۰ | ضریب پواسون | |
| ۹ | ۴۳ | ۱۲ | ۴۶ | وزن مخصوص (کیلو متر بر متر مربع) | |
| - | - | ۱۶۹۶۰ | ۳۲۱ | مدول مؤثر پنل کفپوش (متر بر مگا پاسکال) | |
| - | - | ۱۱۷۰۰ | ۴۶۲ | مدول مؤثر بین پنل ها (متر بر مگا پاسکال) | |

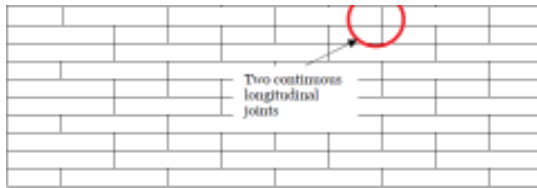
۳-۵- کاربرد سیستم کفپوش سازه ای در ساخت سریع خط پرواز

سیستم کفپوش AM-2 راچ ترین سیستمی است که برای ساخت سریع خط پرواز، پدهای نشست و پرخاست قائم و ساخت تاکسی وی و توفگاه قابل استفاده است (Dover et al., 2002). این سیستم از آلیاز آلومنیوم 6061-T6^{۱۲} با هسته توخالی و طی عملیات حرارتی رسوب سختی (T6) ساخته شده است. بیش از ۹۷ درصد این آلیاز از آلومنیوم تشکیل شده است و سایر آلیاز های تشکیل دهنده آن عبارت اند از: منیزیم، سیلیسیم، مس، منگنز، آهن و کروم (Jogi et al., 2008). مقاومت کششی نهایی و تسليم این آلیاز به ترتیب ۳۰۳ و ۲۸۳ مگا پاسکال است (Allison,

فقط در انتهای هر ردیف استفاده می‌شود و درنتیجه تعداد زیادی از این پنل‌ها بدون استفاده باقی خواهد ماند و به همین دلیل الگوهای جایگزین Lay-1 2-1 Lay و Lay-3-4 باهدف بهینه‌سازی در استفاده از پنل‌های ۶ فوتی ایجاد شدند. چیدمان 2-1 Lay برای خط پرواز و تاکسی وی با سرعت بالا قابل استفاده است، در این چیدمان تعداد پنل‌های ۶ فوتی و ۱۲ فوتی مورداستفاده با یکدیگر برآورده، همچنین دو ردیف نخست این چیدمان مشابه آرایش دیوار آجری است و سومین ردیف از آرایش 2-1 Lay با پنل کامل ۱۲ فوت شروع می‌شود و با نیمه پنل ۶ فوت ادامه می‌یابد. این چیدمان برخلاف آرایش دیوار آجری منجر به قرارگیری دو اتصال ۲ فوتی در یک راستا (راستای طولی) می‌شود که می‌تواند باعث تضعیف عملکرد خط پرواز گردد (L. Garcia et al., 2016; Hoffman, Garcia, & Rushing, 2018). آرایش 3-4 Lay برای استفاده در پارکینگ و مناطق تاکسی وی ثانویه با سرعت پایین طراحی شده است. سه ردیف نخست این آرایش مشابه آرایش دیوار آجری است و چهار ردیف بعدی با استفاده از هر پانلی که در دسترس است اجرا می‌شود و در بدترین حالت منجر به قرارگیری شش اتصال ۲ فوتی در یک راستا (راستای طولی) می‌شود (T. W. Rushing, Garcia, et al., 2014).

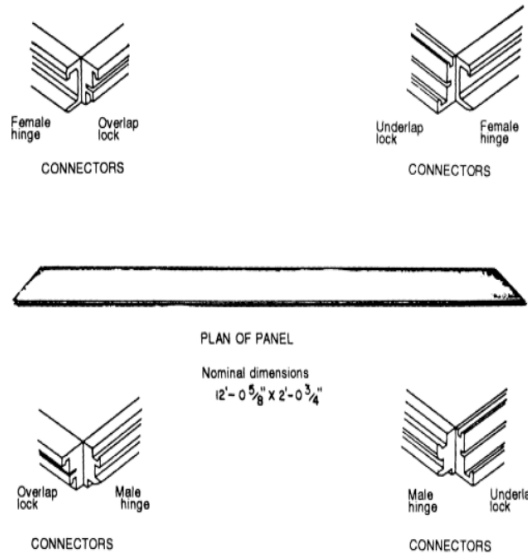


شکل ۹. آرایش چیدمان دیوار آجری برای پنل‌های L. (AM-2) (Garcia et al., 2016)



شکل ۱۰. آرایش 2-1 lay برای چیدمان پنل‌های AM-2 (Hoffman et al., 2018)

گسیختگی ناشی از تغییر شکل خاک بستر یکی از دلایل خرابی سیستم کفپوش است. جان و همکاران در سال ۲۰۰۵ مدلی را جهت پیش‌بینی تغییر شکل خاک بستر در زمان حرکت وسائل نقلیه سنگین نظامی ارائه دادند (Jones et al., 2005). همچنین در شهر و همکاران در سال ۲۰۰۸ مدلی



شکل ۸. پنل AM2 اتصالات پوششی و نر-مادگی

(MATS, 2015)

خصوصیات خمی پنل‌های AM-2 شامل ممان اینرسی (I)، مدول الاستیستیه خمی (E) و صلیبت خمی (D) در جدول (۷) نشان داده شده است، لازم به ذکر است که خصوصیات خمی پنل‌های AM-2 با استفاده از تست خمی سه نقطه‌ای از طریق اندازه‌گیری بار و تغییر شکل قائم متناظر با آن به دست می‌آید. این تست برای هردو جهت طولی (L) و عرضی (T) انجام می‌شود (T. W. Rushing, 2018).

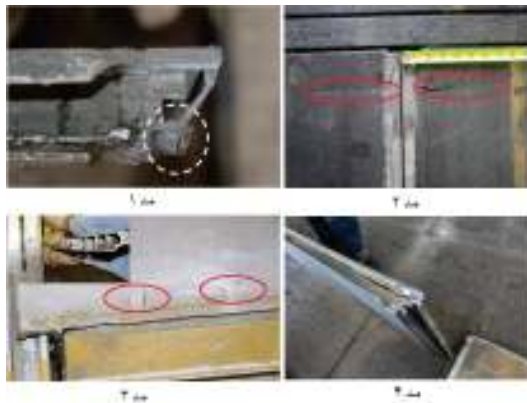
جدول ۷. خصوصیات خمی (ممان اینرسی، مدول الاستیستیه خمی و صلیبت خمی) پنل AM-2 (T. W. Rushing, 2018)

| پنل AM-2 | پارامتر |
|----------|---|
| ۴/۸۱ | $I^{\text{Transverse}} (\text{mm}^4 \times 10^4)$ |
| ۴/۴۷ | $I^{\text{Longitudinal}} (\text{mm}^4 \times 10^4)$ |
| ۴/۳۰ | $E^{\text{Transverse Flexural}} (\text{Mpa} \times 10^4)$ |
| ۱/۱۲ | $E^{\text{Longitudinal Flexural}} (\text{Mpa} \times 10^4)$ |
| ۲۰۶۸/۳ | $D^{\text{Transverse Flexural}} (\text{N.m}^2)$ |
| ۵۰/۶۴ | $D^{\text{Longitudinal Flexural}} (\text{N.m}^2)$ |

انواع آرایش چیدمان پنل‌های AM-2 عبارت است از: دیوار آجری (شکل ۹)، 2-1 lay (شکل ۱۰) و 3-4 lay.

آرایش دیوار آجری رایج ترین الگوی استفاده شده برای چیدمان پنل‌ها است. این آرایش بهترین عملکرد را برای انتقال بار بین پنل‌ها دارد، چراکه مفصل طولی پیوسته در آن شکل نمی‌گیرد. در آرایش دیوار آجری پنل‌های ۶ فوتی

اغتشاشی (2_{ft}) گسترش می‌یابند و درنهایت منجر به جدا شدن اتصال از انتهای پنل می‌شود. گسترش این خرابی در هوایپمای F-15E به دلیل فشار بالای تایر عمدتاً با سرعت بیشتری گسترش می‌یابد، و ۴. خرابی اتصالات نر و مادگی به طول بزرگ‌تر از ۶۰ اینچ. انواع مدهای شکست پنل در شکل (۱۲) نشان داده شده است.



شکل ۱۲. نمایش انواع مدهای شکست پنل AM-2

L. Garcia et al., 2016; L. Garcia, Heiser, et al., (2015; Hoffman et al., 2018

گارسیا و همکاران (L. Garcia et al., 2016) با انجام آزمایشات تمام مقیاس به ارزیابی عملکرد پنل‌های AM-2 با آرایش دیوار آجری بر روی خاک بستر با CBR=6 تحت ترافیک شبیه‌سازی شده هوایپمای F-15E و بوئینگ C-17 پرداختند. هوایپمای F-15E مشکل از دو محور اصلی تک‌چرخ با بار چرخ منفرد ۳۵۰۰۰ پوند و فشار تایر ۳۲۵ پوند بر اینچ مربع و هوایپمای C-17 مشکل از دو محور اصلی شش چرخ با بار چرخ منفرد ۴۴۹۳۰ پوند و فشار تایر ۱۴۲ پوند بر اینچ مربع است. خصوصیات بارگذاری هوایپمای طرح با خودروی حمل بار (شکل ۱۳) شبیه‌سازی شده است.

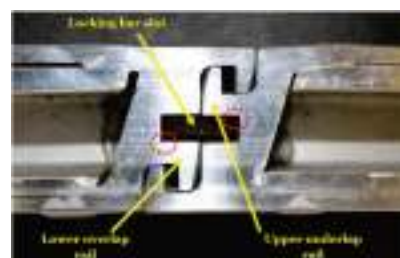


شکل ۱۳. خودروی حمل بار هوایپمای C-17 (b) F-15E (a) (Gartrell, 2007; T. W. Rushing, 2018)

را بر مبنای المان محدود سه بعدی جهت پیش‌بینی تغییر شکل خاک بستر در زمان حرکت وسائل نقلیه بر روی خاک‌های ماسه‌ای و رسی پیشنهاد دادند (Hambleton & Drescher, 2008). هیچ‌یک از این مدل‌ها علی‌رغم پیچیدگی، برای محاسبه آسیب تجمعی، تحت سیکل بارگذاری تکراری و درنتیجه محاسبه تغییر شکل خاک بستر Chai & Miura (2002; Li & Selig, 1996).

دو معیار برای گسیختگی سیستم کفپوش سازه‌ای AM-2 در نظر گرفته شده است: ۱) شکست خستگی پنل‌ها: شکست بیش از ۱۰ درصد پنل‌ها، درصد شکست خستگی پنل‌ها از تقسیم مساحت پنل‌های آسیب‌دیده به مساحت کل پنل‌ها به دست می‌آید. ۲) گسیختگی ناشی از تغییر شکل خاک بستر: موقع تغییر شکل بزرگ‌تر از ۱/۲۵ اینچ برای هوایپمای F-15E و بزرگ‌تر از ۳ اینچ برای هوایپمای C-17 در خاک بستر، لازم به ذکر است که محور اصلی در بوئینگ C-17 از قدرت بالایی برای تحمل تغییر شکل خاک بستر تا ۳ اینچ برخوردار است.

مدهای اصلی شکست پنل‌های AM-2 عبارت‌اند از:
۱. شکستن ریل اتصال در طول بیش از ۱۲ اینچ از نقاط نشان داده شده در شکل (۱۱) که منجر جدایی دو پنل مجاور از یکدیگر می‌شود. عدم اجرای ماهیچه در شکاف اتصال پوششی و تمرکز تنش در این نقطه را می‌توان، علت اصلی این مد شکست دانست.



شکل ۱۱. محل تمرکز تنش در اتصالات پوششی در پنل AM-2 (L. Garcia, Rushing, et al., 2015)

۲. ایجاد ترک‌های با طول بزرگ‌تر از ۱۰ اینچ در پوسته بالایی پنل، ۳. وقوع ترک در جوش اصطکاکی اغتشاشی بین اتصال پوششی و هسته پنل، به طوری که ترک‌ها ابتدا در جوش فیوژن بین اتصال پوششی و اتصال مفصلی نر و مادگی شروع می‌شوند و سپس در تمام طول جوش اتصال اصطکاکی

می دهد که شکست زودهنگام پنل ها در این مطالعه، به دلیل شکست ریل اتصال پوششی ناشی از تمرکز تنش در نقاط گوشه کانال اتصال به دلیل عدم ماهیچه ای بودن گوشه کانال است (مد ۱).

معادلات طراحی سیستم AM-2 با آرایش دیوار آجری F-15E به منظور تعیین تعداد عبور مجاز بار چرخ هواپیمای طرح C-17 با نسبت P/C به ترتیب ۶ و ۱۲ مبتنی بر CBR خاک بستر بر اساس معیار گسیختگی تغییر شکل ۱/۲۵ اینچ و ۳ اینچ به ترتیب برای F-15E و C-17 و شکست خستگی (در دو حالت شکست اولین پنل و شکست ۱۰ درصد پنل ها) در جدول (۹) نشان داده شده است. این معادلات با انجام آزمایشات تمام مقیاس بر روی خاک هایی با AM-2 مختلف، ۶، ۱۰، ۱۵، ۲۵ و ۱۰۰ در زیر سیستم کفپوش ۲ در زمان نشست هواپیمای طرح به دست می آید.

جدول ۹. معادلات طراحی سیستم کفپوش ۲ بر اساس CBR خاک بستر

| معادله پیش بینی | معیار گسیختگی | هواپیما |
|---|--|---------|
| $\delta_s = \log P. 1.64. CBR^{-0.61}$ (17) | تغییر شکل (T. W. Rushing & Howard, 2015) | F-15E |
| $\frac{CBR}{Nf-1} = 6.1 \times 10^{-3}$ (18) | شکست خستگی به ازای اولین شکست پنل (T. W. Rushing et al., 2016) | |
| $\frac{CBR}{Nf-4} = 4.3 \times 10^{-3}$ (19) | شکست خستگی به ازای خرابی ۱۰ درصد پنل ها (T. W. Rushing et al., 2016) | |
| $\frac{CBR}{Nf-lab} = 5.3 \times 10^{-3}$ (20) | شکست خستگی به ازای خرابی اتصالات (T. W. Rushing et al., 2016) | |
| $\delta_s = \log P. 1.92. CBR^{-0.467}$ (21) | تغییر شکل (T. Rushing & Howard, 2017) | C-17 |
| $CBR = 0.1237 \times N_f^{0.5452}$ (22) | شکست خستگی به ازای خرابی ۱۰ درصد پنل ها (T. Rushing & Howard, 2017) | |
| $\frac{CBR}{N_f^{0.344}} = 0.74$ (23) | شکست خستگی به ازای خرابی اتصالات (T. Rushing & Howard, 2017) | |

در این مطالعه فرض شده است که هر الگوی تردد ترافیک هواپیمای F-15E منجر به ۱۶ بار عبور بار چرخ منفرد یا ۴ کاوریچ (تعداد دفعاتی که در هر الگو، چرخ بارگذاری از نقطه ای واحد در خط مرکزی ترافیک نوار آزمون عبور می کند) می شود. بنابراین نسبت P/C (معکوس مجموع احتمال عبور چرخ هواپیما از نقطه ای مشخص در خط مرکزی سطح روسازی به ازای هر بار عبور) برابر ۴ است یعنی احتمال آنکه هر بار عبور هواپیما منجر به عبور کردن از یک نقطه ای مشخص در خط مرکزی سطح روسازی در نوار آزمون شود ۲۵ درصد است. در الگوی تردد ترافیک بوئینگ ۷۷۷، نسبت P/C برابر ۱۲ است یعنی احتمال آنکه هر بار عبور هواپیما منجر به عبور کردن از یک نقطه ای مشخص در خط مرکزی سطح روسازی در نوار آزمون گردد، ۹۰ درصد فرض شده است. تعداد عبور مجاز ترافیک هواپیمای طرح برای سیستم کفپوش ۲ AM-2 بر روی خاک بستر با CBR=6 در جدول (۸) نشان داده شده است.

جدول ۸. تعداد عبور مجاز ترافیک هواپیمای طرح بر روی پنل CBR=6 برای خاک بستر با AM2
(L. Garcia et al., 2016)

| تغییر شکل متاظر بر روی سطح (in) کفپوش | تعداد عبور مجاز بر اساس معیار شکست خستگی | تعداد عبور به ازای اولین آسیب به پنل | معیار هواپیما |
|--|--|--|------------------|
| ۱/۲۵ | ۴۷۶ | ۲۴۰ | F-15E |
| ۳/۹۱ | ۳۰۸ | ۱۶۸ | C-17 |

همان طور که در جدول فوق مشاهده می شود، تعداد عبور مجاز بر اساس معیار شکست گسیختگی در مطالعه گارسیا و همکاران برای هواپیمای F-15E و C-17 به ترتیب برابر ۴۷۶ و ۳۰۸، عبور بار چرخ هواپیمای طرح است که در مقایسه با پژوهش مبنای راشینگ و همکاران که T. W. Rushing، ۱۵۰۰، عبور بار چرخ هواپیمای طرح است (Rushing & Tingle, 2007) درصدی را نشان می دهد. نتایج آزمایشات تمام مقیاس نشان

جدول ۱۱. تعداد عبور مجاز هوایپمای F-15E بر روی سیستم کفپوش در دو حالت اجرا و عدم اجرای ماهیچه بر روی خاک (L. Garcia, Rushing, et al., 2015) CBR=6 بستر با

| تعداد عبور به ازای وقوع تغییر شکل بزرگتر از ۱/۲۵ اینچ | تعداد عبور به ازای خرابی ۱۰ درصد پنل ها | معیار گسینگی مشخصات کفپوش |
|---|---|--------------------------------------|
| ۴۹۶ (۱,۵۱ اینچ) | ۱۱,۹ (درصد) ۹۲۳ | عدم اجرای ماهیچه در شکاف اتصال پوششی |
| ۱۰۰۸ (۱,۸۱ اینچ) | ۱۱,۹ (درصد) ۲۰۵۶ | اجرای ماهیچه در شکاف اتصال پوششی |

نتایج این پژوهش نشان می‌دهد که طرح اتصالات انتهایی پنل AM-2 با گوشه گرد شده (ماهیچه‌ای) قادر به عبور بیش از دو برابر ترافیک هوایپمای طرح F-15E بر روی خاک بستر با CBR=6 در مقایسه با حالت عدم اجرای ماهیچه بر اساس هر دو معیار گسینگی تغییر شکل و شکست خستگی است. هافمن و همکاران (L. I. Garcia et al., 2014a) به بررسی تأثیر چیدمان و آرایش Lay ۲-۱ برای پنل‌های C-17، بر تعداد عبور مجاز هوایپمای طرح F-15E و AM-2 بر روی خاک بستر با CBR=25 پرداختند. نتایج این مطالعه در جدول (۱۲) نشان داده شده است.

جدول ۱۲. تعداد عبور مجاز ترافیک هوایپمای طرح بر روی پنل مجاز بر اساس معیار گسینگی تغییر شکل با آرایش Lay ۲-۱ برای خاک بستر با CBR=25 برای C-17

(L. I. Garcia et al., 2014a)

| تعداد عبور مجاز بر اساس معیار گسینگی تغییر شکل | تعداد عبور مجاز بر اساس معیار گسینگی شکست خستگی | تعداد عبور به ازای اولین آسیب به پنل | معیار هوایپما |
|--|---|--------------------------------------|---------------|
| ۲۵۴۴ | ۷۱۲۰ | ۱۰۰۸ | F-15E |
| >۱۰۰۸۰ ^۱ | >۱۰۰۸۰ ^۱ | - | C-17 |

^۱ بعد از ۱۰۰۸۰ بار عبور (۹۰۰۰ کاوریچ) بر چرخ هوایپمای C-17 هیچ پنلی آسیب نمی‌بیند.

^۲ تغییر شکل خاک بستر بعد از ۱۰۰۸۰ بار چرخ هوایپمای C-17 برابر ۲,۵ اینچ است.

در جدول فوق δ تغییر شکل خاک (اینج)، P تعداد عبور هوایپما، CBR نسبت باربری کالیفرنیا (درصد)، N_{f-1} تعداد عبور هوایپمای طرح به ازای شکست اولین پنل و N_{f-4} تعداد عبور هوایپمای طرح به ازای خرابی ۱۰ درصد پنل‌ها است. به عنوان مثال CBR مورد نیاز برای ۳۰۰۰ بار عبور هوایپمای C-17 با در نظر گرفتن تغییر شکل مجاز خاک (CBR=10%) (CBR=36%) (CBR=12%) (CBR=10%) درصد است. در این مثال تغییر شکل خاک عامل کنترل کننده است. همچنین محققین دیگری نیز به بررسی تأثیر CBR خاک بستر بر عملکرد شکست خستگی سیستم کفپوش AM-2 در زمان C-17F-15E و بوئینگ پرداختند. نتایج این بررسی‌ها در جدول (۱۰) نشان داده شده است.

جدول ۱۰. تعداد عبور مجاز بر چرخ هوایپمای طرح به ازای خرابی ۱۰ درصد پنل‌ها بر اساس CBR خاک و هوایپمای طرح

| تعداد عبور ترافیک پیش از خرابی ۱۰ درصد پنل‌ها | مقاومت خاک (CBR) |
|---|--|
| C-17 | F-15E |
| ۱۵۰۰ | ۱۵۰۰ T. W. Rushing & Tingle, (2007) |
| ۶۰۰۰ | ۳۰۰۰ T. W. Rushing, Torres, & (Mason, 2008) |
| ۷۰۰۰ | ۴۱۰۰ T. W. Rushing & Mason, (2008) |
| ۱۰۰۰۰* | ۶۳۰۰ L. I. Garcia, Rushing, & (Mason, 2014a) |
| - | ۲۳۰۰۰ L. I. Garcia et al., (2014b) |

L. Garcia, Rushing, et al., (2015) در مرکز تحقیق و توسعه ارتش مهندسین آمریکا، به بررسی عملکرد اتصال پوششی انتهایی پنل AM-2 پرداختند. بدین منظور آزمایشات تمام مقیاس بر روی سیستم کفپوش AM-2 با دو نوع طرح اتصال انتهایی مختلف شامل اجرای ماهیچه در کانال اتصال و عدم اجرای ماهیچه در کانال اتصال بر روی خاک بستر با CBR=6 و به ضخامت ۳۶ اینچ تحت ترافیک هوایپمای طرح F-15E با آرایش دیوار آجری انجام شد. نتایج این مطالعه در جدول (۱۱) نشان داده شده است.

در این پژوهش ارائه دادند: ۱. استفاده از آلیاژ منزیم در فرآیند اکستروژن پنل AM-2 ۲. استفاده از آلیاژهای آلمینیوم با مقاومت بالا (گروه ۷XXX) از قبیل ۷۰۷۵ و ۷۰۵۵، که به دلیل مقاومت بسیار زیادشان می‌توانند باعث کاهش ضخامت موردنیاز و درنتیجه کاهش وزن پنل شوند. اکستروژن این آلیاژها برای ساخت مقطع پنل AM-2 دشوار است. در این شرایط از اکستروژن بخش‌های پنل به صورت جداگانه با آلیاژهای گروه ۷XXX و سپس اتصال آن‌ها با جوش به روش اصطکاکی اغتشاشی، می‌توان برای ساخت پنل استفاده کرد.

۵-۴- ارزیابی عملکرد سیستم کفپوش برای پهبهاد
مرکز تحقیق و توسعه ارتش مهندسین آمریکا، به بررسی سیستم‌های کفپوش مختلف به عنوان سطح رویه توقفگاه و آشیانه نشت و برخاست هوایپمای بدون سرننشین (پهبهاد) MQ بروی خاک بستر با CBR=6 به ضخامت ۲۴ اینچ با نسبت P/C برابر ۴، پرداختند. نتایج این پژوهش نشان می‌دهد که سیستم کفپوش ALMATS^{۱۰} بهترین عملکرد را در شرایط مذکور دارد است، به طوری که بعد از ۷۳۹۸ بار عبور ترافیک هوایپمای MQ هیچ پنلی دچار شکست نشده است و تغییر شکل خاک بستر کمتر از ۰/۵ اینچ است. پنل‌های ALMATS بسیار مشابه با AM-2 می‌باشند، طول، عرض، ضخامت، وزن و چگالی هر پنل کامل به ترتیب برابر ۱۰۳ اینچ، ۲۰ اینچ، ۱ اینچ، ۵۷ پوند و ۳/۹۷ پوند بروی مرربع است. افزایش فاصله سخت‌کننده‌های قائم به ۳ اینچ و استفاده از آلیاژ پر مقاومت AA 6082 و کاهش ضخامت موردنیاز به ۱ اینچ را می‌توان اصلی‌ترین عوامل کاهش چگالی پنل ALMATS نسبت به پنل AM-2^{۱۱} دانست (L. Garcia, Rushing, & Rutland, 2017). Hoffman & Garcia, 2018 (به هامون و همکاران) (Rushing & Tingle, 2007) بررسی عملکرد سیستم ALMATS برای ساخت پارکینگ و تاکسی وی هوایپمای F-15E با بار چرخ منفرد ۲۶۷۵۰ پوند و فشار تایر ۳۲۵ پوند بر اینچ مرربع و C-17 با بار چرخ منفرد ۳۴۲۷۰ پوند و فشار تایر ۱۴۲ پوند بر اینچ مربع بر روی خاک بستر با CBR=6 به ضخامت ۲۴ اینچ و با آرایش دیوار آجری پرداختند. نتایج این مطالعه در جدول (۱۴) نشان داده شده است.

نتایج این مطالعه نشان می‌دهد که نیازی به بهسازی خاک بستر و یا تعمیر و جابه‌جایی پنل‌های AM-2 برای عمر بهره‌برداری مورد انتظار در شرایط بحرانی (۱۵۰۰ بار عبور) برای هوایپمای طرح در شرایط CBR=25 و آرایش 2-1 Lay نیست. راشینگ و همکاران (T. W. Rushing, Garcia, Tingle, et al., 2014) به بررسی عملکرد سیستم کفپوش AM-2 با آرایش 3-4 Lay به عمق ۳۶ اینچ در زمان اعمال ترافیک هواپیمای طرح (F-15E و C-17) برای ساخت خط پرواز و تاکسی وی اصلی با سرعت بالا پرداختند. نتایج این پژوهش در جدول (۱۳) نشان داده شده است.

جدول ۱۳. تعداد عبور مجاز ترافیک هوایپمای طرح بر روی پنل AM2 با آرایش 3-4 Lay برای خاک بستر با CBR=6 برای ساخت خط پرواز

(T. W. Rushing, Garcia, Tingle, et al., 2014)

| معیار هوایپما | تعداد عبور مجاز بر اساس معیار شکست گسینه‌نگی (in) | تغییر شکل متناظر بر روی سطح کفپوش |
|---------------|---|-----------------------------------|
| F-15E | ۱۳۵ | ۰/۶۲ |
| C-17 | ۵۶ | ۰/۹۵ |

* مد غالب شکست خستگی برای هر دو هوایپمای طرح، مد ۱ است و به دلیل آرایش فرارگیری، اتصالات نمی‌توانند نقش خود را در انتقال بار ایفا کنند.

مطابق جدول (۱۳)، تعداد عبور مجاز برای هوایپمای F-15E و C-17 به ترتیب برابر ۱۳۵ و ۵۶ بار عبور ترافیک است که در مقایسه با پژوهش مبنای راشینگ و همکاران که برابر ۱۵۰۰ عبور بار چرخ هوایپمای طرح است (T. W. Rushing & Tingle, 2007) درصدی را نشان می‌دهد. بنابراین، نمی‌توان از آرایش 3-4 Lay برای چیدمان پنل‌ها در خط پرواز و تاکسی وی اولیه با سرعت بالا استفاده کرد و این آرایش تنها برای ساخت پارکینگ و تاکسی وی ثانویه با سرعت کم قابل استفاده است.

الیسون و همکاران (Allison et al., 2014) به بررسی مصالحی که قابلیت جایگزین شدن با آلیاژ آلمینیوم T6061 را برای ساخت AM-2 بهمنظور ساخت پنل‌های سبک‌تر، برخوردار است، پرداختند. آن‌ها پیشنهادات زیر را

چسباننده اپاکسی چسبیده شده و سطح آن زیر و غیر لغزنده است. اتصالات این پنل از جنس آلومینیومی و به گونه‌ای ساخته شده که وقتی دو پنل در راستای طولی و عرضی در کنار هم قرار می‌گیرند یک شکاف H شکل تشکیل می‌شود که یک میله H شکل از جنس نایلون فشرده برای جلوگیری از جایه‌جایی پنل‌ها داخل آن قرار گیرد. پنل کامپوزیت آلومینیومی لانه‌زنبوری مشابه M-19 است، با این تفاوت که پوسته بالا و پایین از ورقی از جنس فیبر کربن که بین دو صفحه آلومینیومی فشرده شده، تشکیل می‌شود. همچنین اتصال پنل‌ها در راستای طولی با اتصال نر و مادگی مشابه پنل AM-2 و در راستای عرضی با اتصالات H شکل مشابه پنل کامپوزیت کربن صورت می‌پذیرد. پنل MLC-70 از اکستروژن ورق آلومینیومی ساخته شده است. برای اتصال پنل‌ها در راستای طولی، اتصال T شکل (نر) به داخل اتصال C شکل (ماده) لبه دیگر به صورت کشویی متصل می‌شود. پس از آنکه پنل‌ها با آرایش دیوار آجری در کنار هم قرار گرفته‌اند، پیچ‌های مخصوص فولادی به داخل شکاف‌های تعییه شده در لبه اتصالات نر پنل قرار داده می‌شوند تا از جایه‌جایی پنل‌ها جلوگیری شود. نتایج این پژوهش در جدول (۱۶) نشان داده شده است.

جدول ۱۵. مشخصات فیزیکی پنل‌های جایگزین AM-2
(L. Garcia, 2016)

| E_c^{NJ} Composit (MPa) | چگالی (lb/ft ²) | ابعاد (in) | نام پنل |
|---------------------------------|--------------------------------|---------------|--|
| ۲۷۳۷۲ | ۶۱ | ۱۴۴×۲۴×۱/۵ | Gonzalez &) AM-2 (Rushing, 2010 |
| ۳۴۴۷ | ۴/۳ | ۵۰/۲×۴۹/۵×۱/۵ | Gonzalez &) M-19 (Rushing, 2010 |
| ۱۶۹۳۱ | ۴/۲۶ | ۸۴×۵۰×۱/۲۵ | کامپوزیت کربن (T. W. Rushing, Garcia, & (Mason, 2011 |
| ۲۴۲۰ | ۴/۰۲ | ۱۰۴×۴۲×۱/۲۵ | پنل کامپوزیت آلومینیومی لانه‌زنبوری (T. W. (Rushing et al., 2011 |
| ۳۷۹۳ | ۶/۵۵ | ۱۸۰×۹×۱/۲۵ | T. W.) MLC-70 Rushing, Garcia, & (Mason, 2014 |

مقاومت پنل در برابر تغییر شکل بدون در نظر گرفتن خصوصیات اتصالات

$$(E_c^{NJ})$$

جدول ۱۴. تعداد عبور مجاز ترافیک هواپیمای طرح بر روی پنل ALMATS برای خاک بستر با $CBR=6$ به منظور ساخت تاکسی وی و توقفگاه (Hoffman & Garcia, 2018)

| تغییر شکل متناظر بر روی سطح کفپوش (in) | تعداد عبور مجاز بر اساس معیار شکست خستگی | تعداد عبور به ازای اولین آسیب به پنل | معیار هواپیما |
|--|--|--|------------------|
| ۰/۴۱ | ۱۵۲ | ۴۸ | F-15E |
| ۰/۸۵ | ۶۶۰ | ۲۴۰ | C-17 |

نتایج این پژوهش نشان می‌دهد که سیستم کفپوش ALMATS قبل از تحمل ۱۵۰۰ بار عبور ترافیک هواپیمای طرح به دلیل جایی اتصال پوششی از هسته پنل، دچار شکست می‌شود و از مقاومت کافی برای تحمل بارهای سنگین‌تر از پهیاد بر روی خاک بستر با $CBR=6$ برخوردار نیست.

۵-۵ ارزیابی عملکرد سیستم کفپوش سازه‌ای جایگزین ۲

عملکرد سیستم کفپوش AM-2 برای تحمل ترافیک هواپیماهای مدرن نظامی و جنگی از قبیل F-15E و C-17 بسیار موفقیت‌آمیز بوده است، اما به دلیل ابعاد و وزن آن امکان جایه‌جایی آن با هواپیما دشوار است و نیروی هوایی ارتش مهندسین آمریکا در برنامه‌ای با عنوان X AM-X به ارزیابی و شناسایی سیستم‌های کفپوش سبک، به عنوان جایگزین AM-2 می‌پردازد. گارسیا و همکاران (2016) در مرکز تحقیق و توسعه ارتش آمریکا، به بررسی عملکرد چهار نوع سیستم کفپوش بر روی خاک بستر با $CBR=6$ در زمان نشست و برخاست هواپیمای F-15E پرداختند. مشخصات فیزیکی این پنل‌ها در جدول (۱۵) نشان داده شده است.

پنل M-19 از هسته لانه‌زنبوری آلومینیومی با ضخامت ورق ۰/۱۲۵ اینچ که در قسمت بالا و پایین توسط دو ورق آلومینیومی به ضخامت ۰/۳۳ اینچ با چسباننده اپاکسی چسبیده شده است، تشکیل می‌شود. اتصالات پنل M-19 مشابه AM-2 است. هسته پنل کامپوزیت کربن از سخت‌کننده‌های کربنی که بین آن‌ها با فوم پلی اورتان پرشده، تشکیل شده است. هسته در قسمت بالا و پایین با دو ورق از جنس فیبر کربن توسط

مجاور شکل می‌گیرد. ۲. سیستم کفپوش S46، از دو قاب اکستروژن آلیاژ الومینیوم 6005A که توسط جوش FSW به هم متصل شده‌اند، تشکیل می‌شود. ۳. سیستم کفپوش I-Trac، که از پلی پروپیلن بسیار فشرده ساخته شده است. نتایج آزمایشات تمام مقیاس نشان می‌دهد که هر سه سیستم، پیش از ۵۰ بار عبور هوایی F-15E بر روی خاک بستر با CBR=6 دچار شکست گسیختگی می‌شوند و برای ساخت روسازی خط پرواز قابل استفاده نیستند.

۶- کاربرد مخلوط سرد آسفالتی در ساخت و تعمیر سریع فرودگاه

آسفالت سرد بیشتر در موقعیت‌های که دسترسی به آسفالت گرم کارخانه‌ای دشوار است و یا نیاز به ساخت و تعمیر سریع باشد، بکار می‌رود. آسفالت سرد عمده‌تاً به دلیل حالاتی استفاده شده در قیرها دارای عملکرد شیارشدنگی نسبتاً ضعیفی است و ریسک وقوع پدیده FOD در زمان نشست و پرخاست هواییما را افزایش خواهد داد (J. F. Rushing, Cox, & Floyd, 2017). در سال‌های اخیر مطالعات متعددی در زمینه امکان‌سنجی استفاده از مخلوط سرد آسفالتی در ساخت و تعمیر روسازی خط پرواز، تاکسی وی و توافقگاه و همچنین بهبود خصوصیات شیارشدنگی قیرها به منظور استفاده در آسفالت سرد انجام شده است. مرکز تحقیق و توسعه مهندسین ارتش آمریکا به بررسی امکان‌پذیری استفاده از ۷ نوع تولید تجاری آسفالت سرد برای تعمیر سریع رویه‌های آسفالتی در زمان پرواز هواییما F-15E می‌پردازد. نتایج تست‌های میدانی نشان می‌دهد آسفالت‌های سرد مورد بررسی با توجه به فشار بالای چرخ هواییما طرح دارای عملکرد مطلوبی نیستند و عمق شیارشدنگی آن‌ها زیاد است، ازین‌رو استفاده از آسفالت سرد برای ساخت و تعمیر روسازی‌های فرودگاهی در معرض هواییماهای با فشار تاکر بالا توصیه نمی‌شود. این مطالعه استفاده از مخلوط‌های سرد آسفالتی را فقط در ساخت تاکسی وی و توافقگاه توصیه می‌کند (Mejías-Santiago, Valle-Roldan, & J. F. Rushing, 2010) (Priddy and Hoffman, 2010). راشینگ و همکاران (et al., 2017) در مرکز تحقیق و توسعه ارتش مهندسین آمریکا به بررسی عملکرد شیارشدنگی ۹ مخلوط سرد با استفاده از تست آزمایشگاهی ویل ترک پرداختند. نتایج تست شیارشدنگی بیانگر عملکرد بسیار مناسب مخلوط‌های سرد ساخته شده با قیر امولسیون در مقایسه با مخلوط‌های سرد

جدول ۱۶. تعداد عبور مجاز ترافیک هواییما F-15E بر روی پتل AM-X برای خاک بستر با CBR=6

(L. Garcia, 2016)

| معیار کفپوش | معیار | تعداد عبور ازی اولین آسیب | تعداد عبور مجاز - معیار خستگی | تعداد عبور مجاز - معیار شکست | تعداد عبور مجاز - معیار |
|--------------------|-------|---------------------------|-------------------------------|------------------------------|-------------------------|
| AM-2 | | ۴۰۰ | ۱۵۳۶ | ۳۸۴ | |
| M-19 | | ۵۳۰ | ۲۰۸۵ | ۱۹۲ | |
| کامپوزیت کربن | | ۱۷۰۰ | ۳۴۰۴ | ۴۹۶ | |
| کامپوزیت لامینیوری | | ۴۰۰ | ۶۶۲ | ۲۴۰ | |
| MLC-70 | | - | - | ۴۸ | |

مطابق جدول فوق، عامل کنترل‌کننده در تعیین تعداد عبور ترافیک شبیه‌سازی شده بار چرخ هواییما طرح F-15E برای خاک بستر با CBR=6، تغییر شکل خاک بستر است. در میان پتل‌های AM-X، تنها کامپوزیت کربن عملکرد مناسبی را دارد. راشینگ و همکاران (Rushing, Garcia, & Mason, 2014) توانایی سیستم کفپوش MLC-70 برای تحمل ترافیک هواییما F-15E بر روی خاک بستر با CBR=25 و CBR=100 به ضخامت ۲۴ اینچ، با انجام آزمایشات تمام مقیاس پرداختند. نتایج این پژوهش نشان می‌دهد که خاک بستر با CBR=25، توانایی تحمل ۱۰۰۸ بار عبور ترافیک هواییما طرح را پیش از وقوع تغییر شکل های بزرگ‌تر از ۱/۲۵ اینچ دارد. خاک بستر با CBR=100 به ضخامت ۲۴ اینچ پس از تحمل ۳۷۱۶ بار عبور ترافیک F-15E کمتر از ۰/۳ اینچ تغییر شکل می‌دهد، پیش‌بینی می‌شود که این سیستم حداقل ۱۰,۰۰۰ بار عبور ترافیک جنگنده F-15E را قبل از وقوع تغییر شکل های بزرگ‌تر از ۱/۲۵ اینچ تحمل نماید. بنابراین برای اعمال حداقل ۱۰۰۰ بار عبور ترافیک جنگنده F-15E بر روی سیستم کفپوش MLC-70، مقدار CBR خاک بستر باید بزرگ‌تر از L. Garcia & Hoffman, 2018) باشد. گارسیا و همکاران (در مرکز تحقیق و توسعه ارتش مهندسین آمریکا به ALMATS ارزیابی سه سیستم کفپوش می‌پردازند. ۱. پتل اصلاح شده، در این سیستم اتصالات در راستای عرضی اصلاح شده‌اند به طوری که شکاف آن با قرارگیری تنها یک ریل با لبه رو به بالا و یک ریل با لبه رویه پایین دو پتل

تحقیقات نشان می‌دهد که علاوه بر مشخصات قیر، جنس فیلر و نوع دانه‌بندی نیز بر عملکرد شیارشدنگی مخلوط سرد آسفالتی تأثیرگذار است. استفاده از فیلر سیمان و دانه‌بندی پیوسته در ساخت مخلوط‌های سرد آسفالتی باعث افزایش چشمگیر مقاومت شیارشدنگی مخلوط می‌گردد، به طوری که این مخلوط‌ها عملکرد مشابه و یا حتی بهتر از آسفالت گرم داشته و می‌توانند در بدنه روسازی راه استفاده شوند (Hasanuzzaman, Hashemian, & Bayat, 2017; Head, 1974; Oruc, Celik, & Akpinar, 2007). ناگیم و همکاران نشان می‌دهند که استفاده از فیلر خاکستر بادی در مقایسه با سیمان پرتلند تأثیر بیشتری در افزایش مقاومت شیارشدنگی مخلوط‌های سرد آسفالتی دارد (Al Nageim et al., 2012). علاوه بر استفاده از آسفالت سرد و سیستم کفپوش که قابلیت به کارگیری در تعمیر سریع روسازی فروندگاه را دارد می‌باشد.

استفاده از فرم پلی اورتان (Gurtowski et al., 2016) بتن زود سخت شونده (Priddy et al., 2007) و آسفالت گرم (Chavoshian, Golestaneh, & Khosravi, 2017) از دیگر روش‌هایی است که می‌توان برای تعمیر سریع چاله‌های حاصل از بمب بکار برد. همچنین کفپوش به منظور ساخت راه‌های موقتی برای تحمل ترافیک خودروهای نظامی سنگین نیز قابل استفاده می‌باشد (T. W. Rushing & Howard, 2011).

۷- نتیجه‌گیری

در این مقاله مرور کاملی بر روش‌های ساخت سریع روسازی فروندگاه در شرایط اضطراری انجام شد. در بخش اول و دوم، مقدمه و ضرورت انجام تحقیق بیان شد. در بخش سوم، به بررسی روش‌های آنالیز سریع خاک در مرحله طراحی روسازی پرداخته شد و معادلاتی جهت پیش‌بینی مقادیر درصد رطوبت بهینه، چگالی خشک ماکزیمم، منحنی تراکم (تغییرات درصد رطوبت- چگالی خشک)، منحنی CBR (تغییرات درصد رطوبت-CBR) و حد روانی بر اساس پارامترهای طبقه‌بندی خاک، حد خمیری و پارامتر اندازه ذرات ارائه گردید. در بخش چهارم مطالعه، گراف‌ها و روابط طراحی روسازی بدون رویه بر مبنای دو روش CBR- α و CBR- β ، به منظور تعیین تعداد عبور مجاز هوایی

ساخته شده با قیر محلول به منظور استفاده در ساخت تاکسی وی و توقفگاه است. افزودنی‌های مختلفی به منظور بهبود عملکرد شیارشدنگی قیر پایه آسفالت سرد انجام شده است. عملکرد شیارشدنگی قیرها با تست رئومتر برش دینامیکی و تست بازیابی چندمرحله‌ای خرزش و عملکرد شیارشدنگی مخلوط‌های آسفالتی با تست خرزش دینامیکی بررسی شد. در جدول (۱۷) تأثیر افزودنی‌های مختلف بر عملکرد شیارشدنگی قیرها نشان داده شده است. افزایش پارامتر شیارشدنگی ($G^*/sin\delta$) از آزمایش رئومتر برش دینامیکی، کاهش پارامتر مدول غیرقابل برگشت (J_{nr}) از آزمایش بازیابی چندمرحله‌ای خرزش و افزایش عدد روانی از آزمایش خرزش دینامیکی باعث افزایش مقاومت شیارشدنگی قیر و مخلوط‌های آسفالتی می‌گردد.

جدول ۱۷. عملکرد شیارشدنگی قیرهای امولسیونی اصلاح شده

| افزودنی | درصد | $G^*/sin\delta$ | J_{nr} | عدد روانی | توضیحات |
|------------|------|-----------------|----------|-----------|---|
| لانکس SBR | ۶ | ↑↑ | ↓ | ↑ | بهترین عملکرد شیارشدنگی مربوط به قیرهای اصلاح شده با لانکس CR است و مطابقت بهتری بین نتایج تست خرزش دینامیکی با MSCR وجود دارد (Jiang et al., 2018) |
| لانکس CR | ۸ | ↑ | ↓↓ | ↑↑ | |
| پلیمر SEBS | ۶ | ↑ | ↓ | ↑ | |
| لانکس NBR | ۴ | ↑ | - | - | بهترین عملکرد شیارشدنگی مربوط به قیرهای اصلاح شده با لانکس NBR است (Abedini, Naimi, & Abedini, 2017) |
| لانکس SBR | ۵ | ↑ | ↓ | - | قیرهای اصلاح شده با لانکس NR عملکرد شیارشدنگی بهتری از خودشان می‌هدند (Khadivar & Kavussi, 2013) |
| لانکس NR | ۵ | ↑↑ | ↓↓ | - | |

شکست خستگی (خرابی کمتر از ۱۰ درصد پنل‌ها) پنل‌ها ارائه شد. آرایش دیوار آجری و Lay-2 برای ساخت خط پرواز، تاکسی وی و توقفگاه قابل استفاده است، اما آرایش Lay-3-4 تنها برای ساخت پارکینگ و تاکسی وی ثانویه با سرعت کم قابل استفاده است. همچنین طرح اتصالات انتهایی پنل AM-2 با گوشه گرد شده (ماهیچه‌ای) نیز بر عملکرد سیستم کفپوش تأثیرگذار است و منجر به افزایش قابل ملاحظه تعداد عبور مجاز هوایی طرح می‌شود. در این پخش انواع مدهای شکست پنل AM-2 تشریح شده و پیشنهادهایی به منظور کاهش وزن مخصوص پنل ارائه شد. همچنین، عملکرد سیستم‌های کفپوش مختلف برای سطح رویه هوایی بدون سرنژین MQ ارزیابی و سیستم کفپوش ALMATS به عنوان گزینه برتر معرفی شد. این سیستم از مقاومت کافی برای تحمل بارهای سنگین تر از ترافیک هوایی بدون سرنژین بر روی خاک بستر با CBR=6 برخوردار نیست. در پایان بخش پنجم، به ارزیابی سیستم‌های کفپوش جایگزین AM-x در برنامه AM-x پرداخته شد. نتایج بررسی‌ها نشان می‌دهد که تنها، سیستم کفپوش کامپوزیت کریب عملکرد قابل قبولی را بر روی خاک بستر با CBR=6 از خود نشان می‌دهد و سایر سیستم‌ها عملکرد ضعیفتری از AM-2 دارند. همچنین سیستم کفپوش MLC-70 بر روی خاک بستر با CBR>25 قادر به تحمل حداقل ۱۰۰۰ بار عبور ترافیک جنگله F-15E است. در بخش ششم این مطالعه، به بررسی امکان‌سنگی استفاده از آسفالت سرد در ساخت و تعمیر سریع روسازی فرودگاه و همچنین روش‌های افزایش مقاومت شیارشده‌گی آن پرداخته شد. SBR و نشان داده می‌شود که اصلاح قیر با انواع لاتکس، CR و پلیمر SEBS و همچنین استفاده از فیلر سیمان و دانه‌بندی پیوسته، باعث افزایش مقاومت شیارشده‌گی مخلوط سرد آسفالتی می‌شود. استفاده از مخلوط‌های سرد آسفالتی تنها برای ساخت و تعمیر تاکسی وی و توقفگاه توصیه می‌شود و برای ساخت و تعمیر روسازی‌های فرودگاهی در معرض هوایی‌های با فشار تایید بالا مناسب نیست.

۸- پی‌نوشت‌ها

1- Grain Size Parameter (GSP)

طرح C-130 و C-17 بر مبنای CBR خاک بستر و مشخصات کاور پوششی و بر اساس معیار گسیختگی تغییرشکل کمتر از ۳ اینچ ارائه شد. این معادلات تنها برای مقادیر CBR کمتر از ۲۰ قابل استفاده است. نتایج روش طرح CBR- β در مقایسه با روش طرح CBR- α دارای ضریب اطمینان بالاتری است. همچنین الزامات سازه‌ای طراحی روسازی بدون رویه خط پرواز و تاکسی و روش ساخت آن، برای ۵۰۰ بار عبور هوایی طرح C-17 ارائه شد. روش‌های بکار رفته برای ثبت سریع خاک‌ها نیز در این بخش تشریح شد. در بخش پنجم مطالعه، ابتدا به بررسی تاریخچه استفاده از سیستم کفپوش از قبیل بلوك‌های فلزی سوراخ‌دار، M-9, M-8 و کفپوش‌های آلومینیومی و پنل‌های آلومینیومی خرپایی در ساخت سریع روسازی فرودگاه پرداخته شد. همچنین معادله ریاضی تعیین ضخامت روسازی انعطاف‌پذیر معادل ایجاد شده، توسط کفپوش ارائه شد. سپس عملکرد کفپوش‌های مختلف برای ساخت رویه هلی پد در زمان پرواز هلی کوپتر طرح (CH-47, UH-60) به منظور مقابله با پدیده FOD مورد بررسی قرار گرفت و نشان داده شد که سیستم‌های کفپوش ساخته شده با پلی‌اتیلن چکالی بالا (Dura – Base) و فایبر‌گلاس ۵ لایه فشرده (MP Mat) بهترین عملکرد را دارا می‌باشند. همچنین عملکرد کفپوش‌های مختلف برای ساخت رویه تاکسی وی و توقفگاه در زمان پرواز هوایی طرح (C-17, C-130) بر اساس معیار گسیختگی تغییرشکل کمتر از ۳ اینچ و خرابی کمتر از ۲۰ درصد سطح پنل‌ها بر روی خاک بستر با مقاومت عالی، متوجه ضعیف، به منظور افزایش نرخ MOG مورد بررسی قرار گرفت و نشان داده شد که کفپوش Dura Base بهترین عملکرد را در تمامی شرایط خاک بستر دارا است و سیستم کفپوش MP در خاک‌های با مقاومت عالی و متوجه از عملکرد قابل قبولی برخوردار است. در ادامه عملکرد کفپوش سازه‌ای AM-2 مورد بررسی قرار گرفت. نحوه اکستروژن هسته پنل، مشخصات فیزیکی پنل، خصوصیات خمشی پنل، ویژگی‌های آلیاژ به کاررفته، اتصالات بین پنل‌ها و انواع آرایش چیدمان پنل‌ها تشریح شد و معادلات طراحی بر اساس انجام آزمایشات تمام مقیاس به منظور تعیین تعداد عبور مجاز بر مبنای نوع هوایی طرح (F-15E, C-17)، CBR خاک بستر و معیار شکست گسیختگی تغییرشکل ۱/۲۵ اینچ برای F-15E و ۳ اینچ برای C-17 (CBR) و معیار

- AMS-H-6088, S., (2000), "Heat Treatment of Aluminum Alloys", SAE International (SAE), 4 .
- Anderton, G., & Gartrell, C., (2005), "Rapid maximum-on-ground (MOG) enhancement technologies", ERDC/GSL TR-05, 2.
- Anderton, G. L., Berney, I., Ernest, S., Mann, T. A ,Newman, J. K., Baylot, E. A., Mason, Q., (2008), "Joint rapid airfield construction (JRAC) 2007 technology demonstration", engineer research and development center vicksburg ms geotechnical and structures lab.
- Barker, W. R., & Gonzalez, C. R., (1991), "Pavement design by elastic layer theory, Paper presented at the Aircraft/Pavement Interaction", An Integrated System.
- Berney, I., Ernest, S., & Wahl, R. E. (2008), "A rapid soils analysis kit", Engineer Research And Development Center Vicksburg Ms Geotechnical And Structures Lab.
- Bianchini, A., & Gonzalez, C. R., (2014), "CBR-Beta Design Procedure for Aggregate-Surfaced Airfield Pavements", engineer research and development center Vicksburg ms geotechnical and structures lab.
- Brabston, W. N., (1967), "Evaluation of Three-Piece AM2 Aluminum Landing Mat", Army Engineer Waterways Experiment Station Vicksburg Ms.
- Brown, D. (1966), "Engineering Tests Of Experimental T11 Aluminum Airplane Landing Mat. Appendix B", Development of Revised Design Criteria for T11 Landing Mat: Army Engineer Waterways Experiment Station Vicksburg Ms.
- Burns, C. D., & Barker, W., (1966), "Evaluation of Harvey two-piece landing mat (AM2)", Army Engineer Waterways Experiment Station Vicksburg Ms.
- Chai, J.-C., & Miura, N., (2002), "Traffic-load-induced permanent deformation of road on soft subsoil", Journal of Geotechnical and Geoenvironmental Engineering, 128(11), pp.907-916 .
- Dover, D., Anderson, M., & Brown, R. W., 2-U.S. Army Engineer Waterways Experiment Station (WES)
- 3 -Clegg Impact Value (CIV)
- 4 -Joint Rapid Airfield Construction (JRAC)
- 5- Foreign Object Damage (FOD)
- 6- Pass to Coverage (P/C) Ratio
- 7- Maximum on Ground (MOG)
- 8- 6061-T6 aluminum alloy (AA6061-T6)
- 9- Friction Stir Welding (FSW)
- 10- Overlap/Underlap Mechanical Connections
- 11- Male/Female Hinge Type Connections
- 12- Aluminum Logistics Military Airfield Take-off and Landing Surface (ALMATS), Modified Light-Duty AM2

۹-مراجع

چاوشیان، ف.، گلستانه، م.، و خسروی، ف.، (۱۳۹۶). "ارزیابی عملکرد شیارشده مخلوط‌های آسفالتی فرودگاهی حاوی گوگرد"، مجله علمی پژوهشی علوم و فناوری‌های پدافند نوین، سال نهم، شماره اول، ص. ۱۱۹-۱۲۶.

-Air Force Civil Engineering Support Agency, (1997), "Criteria and Guidance for C-17 Contingency and Training Operations on Semi-Prepared Airfields", ETL 97-9, U.S. Air Force.

-Abedini, H., Naimi, S., & Abedini, M. (2017), "Rheological properties of bitumen emulsion modified with NBR latex", Petroleum Science and Technology, 35(15), pp.1576-1582 .

-Al Nageim, H., Al-Busaltan, S. F., Atherton, W., & Sharples, G. (2012) "A comparative study for improving the mechanical properties of cold bituminous emulsion mixtures with cement and waste materials", Construction and Building Materials, 36, pp.743-748 .

-Allison, P. G., Rushing, T. W., & Garcia, L. (2014), "Analysis of lightweight materials for The Am2 System", Engineer Research And Development Center Vicksburg Ms Geotechnical And Structures Lab.

- Tingle, J. S., & Rutland, C. A., (2015), "AM2 mat end connector modeling and performance validation", engineer research and development center vicksburg ms geotechnical and structures lab.
- Garcia, L., Rushing, T. W., & Rutland, C. A., (2017), "Evaluation of Expedient Surfaces for Remote Piloted Aircraft", ERDC-GSL Vicksburg United States.
- Garcia, L. I., Rushing, T. W., & Mason, Q. S. (2014a), "AM2 25 CBR subgrade sensitivity test", US Army Engineer Research and Development Center, Geotechnical and Structures Laboratory.
- Garcia, L. I., Rushing, T. W., Williams, B. A., & Rutland, C. A., (2014b), "AM2 100 CBR subgrade sensitivity test", US Army Engineer Research and Development Center, Geotechnical and Structures Laboratory.
- Garrett, J., & Horsley, J., (1957), "Engineering tests of experimental T7 magnesium and modified standard steel airplane landing mats", Technical Rep (3-461).
- Gartrell, C. A., (2007), "Full scale instrumented testing and analysis of matting systems for airfield parking ramps and taxiways", Mississippi State University.
- Gartrell, C. A., Newman, J. K., & Anderton, G. L., (2009), "Performance measurements of pavement matting systems by full-scale testing over differing soil strengths", Journal of Materials in Civil Engineering, 21(10), pp.561-568.
- GFI, I., (2006), "MP Mat – multipurpose composite mat system", Website-based, downloadable fact sheet, GFI, Inc., Harrison, AR, 72602.
- Gonzalez, C. R., & Rushing, T. W., (2010), "Development of a new design methodology for structural airfield mats", International Journal of Pavement Research and Technology, 3(3), pp.102-109 .
- Green, H. L., (1967), "engineering tests of t14 plastic airplane landing mat", army engineer waterways experiment station
- (2002), "Recent advances in matting technology for military runways", Designing, Constructing ,Maintaining, and Financing Today's Airport Projects, pp. 1-10.
- Doyle, J. D., Howard, I. L., Gartrell, C. A., Anderton, G. L., Newman, J. K., & Berney IV, E. S., (2012), "Full-scale instrumented testing and three-dimensional modeling of airfield matting systems", International Journal of Geomechanics, 14(2), pp.161-170 .
- Epstein, S. G., Kaufman, J., & Pollak, P., (1994), "Aluminum and Its Alloys", Aluminum Association Washington, DC.
- Foster, C., & Burns, C. D., (1952), "Development of tentative cbr design curves for landing mats".
- Freeman, R. B., Mann, T. A., Mason, L. W., Gartrell, C. A., & Moore, V. M., (2008), "Quality assurance for rapid airfield construction", Engineer Research And Development Center Vicksburg Ms Geotechnical And Structures Lab.
- Garcia, L., (2016), "Full-scale instrumented evaluations of multiple airfield matting systems on soft soil to characterize permanent deformation", Geotechnical and Structures Laboratory, US Army Engineer Research and Development Center Vicksburg United States.
- Garcia, L., Fisher, J., Rushing, T. W., & Tingle, J. S., (2016), "AM2 Brickwork Pattern Evaluation", US Army Engineer Research and Development Center Vicksburg United States.
- Garcia, L., Heiser, J., Rushing, T. W., Bradley, C. T., Tingle, J. S., & Rutland, C. A. (2015), "am2 modified 2-1 lay pattern evaluation under f-15e traffic", engineer research and development center vicksburg ms geotechnical and structures lab.
- Garcia, L., & Hoffman, N. R., (2018), "Evaluation of Lightweight Airfield Matting for the AMX Program", ERDC-GSL VICKSBURG United States.
- Garcia, L., Rushing, T. W., Mason, Q.,

- Y.-S., & Strohm, W. E., (1976), "Prediction of the shear strength and compaction characteristics of compacted fine-grained cohesive soils", US Waterways Experiment Station.
- Jiang, J., Ni, F., Zheng, J., Han, Y., & Zhao, X., (2018), "Improving the high-temperature performance of cold recycled mixtures by polymer-modified asphalt emulsion", International Journal of Pavement Engineering, pp.1-8 .
- Jogi, B., Brahmkar, P., Nanda, V., & Prasad, R., (2008), "Some studies on fatigue crack growth rate of aluminum alloy 6061", Journal of materials processing technology, 201(1-3), pp.380-384 .
- Johnson, A. W., & Sallberg, J. R., (1960), "Factors that influence field compaction of soils", Highway Research Board Bulletin (272).
- Jones, R., Horner, D., Sullivan, P., & Ahlvin, R., (2005), "A methodology for quantitatively assessing vehicular rutting on terrains", Journal of Terramechanics, 42(3-4), pp.245-257.
- Kameli, M., Zarei, S., Kalantari, M., & Nejad, E. S., (2014), "Criteria of Passive Defense in Subway Stations", Journal of Civil Engineering and Urbanism. 4 (3), pp.298-304.
- Khadivar, A., & Kavussi, A., (2013), "Rheological characteristics of SBR and NR polymer modified bitumen emulsions at average pavement temperatures", Construction and Building Materials, 47, pp.1099-1105 .
- Ladd, D., (1970), "Soil strength criteria for operation of fighter aircraft on unsurfaced airfields", bare base support, Project 3782-65.
- Li, D., & Selig, E. T., (1996), "Cumulative plastic deformation for fine-grained subgrade soils", Journal of geotechnical engineering, 12, (12), pp. 21013-1006
- Manual, F., (1992), "Manual 5-410 Military soils engineering", USA.
- vicksburg ms.
- Green ,H. L., (1968), "engineering tests of modified t12 plastic airplane landing mat", army engineer waterways experiment station vicksburg ms.
- Grogan, W. P., & Tingle, J. S., (1999), "Evaluation of unsurfaced airfield criteria for operation of C-17 aircraft", Journal of transportation engineering, 125(1), pp.67-74 .
- Gurtowski, L., Mejías-Santiago, M., Griggs, C., Johnson, J., Ruiz, B., & Felt, D., (2016), "Refinement of Foam Backfill Technology for Expedient Airfield Damage Repair", Phase I: Laboratory Evaluation of Foam Materials.
- Hambleton, J., & Drescher, A., (2008), "Modeling wheel-induced rutting in soils", Indentation. Journal of Terramechanics, 45(6), pp.201-211 .
- Hammitt, G. M., & Aspinall Iii, W., (1970), "Thickness Requirements for Unsurfaced Roads and Airfields", Bare Base Support: army engineer waterways experiment station vicksburg miss.
- Hasanuzzaman, M., Hashemian, L., & Bayat, A., (2017), "Laboratory Investigations of Cold Mix Asphalt for Cold Region Applications", Journal of Testing and Evaluation, 46(1), pp.1-11 .
- Head, R., (1974), "An informal report of cold mix research using emulsified asphalt as a binder", Paper presented at the Association of Asphalt Paving Technologists Proc.
- Heukelom, W., & Foster, C. R., (1962), "Dynamic testing of pavements", Transactions of the American Society of Civil Engineers, 127(1), pp.425-450 .
- Hoffman, N. R., & Garcia, L., (2018), "Modified Light Duty AM2 Capability Assessment", erdc-gsl vicksburg United States.
- Hoffman, N. R., Garcia, L., & Rushing, T. W. (2018), "Evaluation of AM2 2 1 Lay Pattern Over a 25 CBR Subgrade", ERDC-GSL VICKSBURG United States.

Scholar .

-Rushing, J. F., Cox, B. C., & Floyd, W. C., (2017), "Rutting Performance of Cold-Applied Asphalt Repair Materials for Airfield Pavements Airfield and Highway Pavements", pp. 185-195.

-Rushing, T., & Howard, I., (2017), "Analysis of AM2 Airfield Matting Performance Under Six-Wheel Boeing C-17 Gear Loading", Journal of Testing and Evaluation, 45(6), pp.2243-2258.

-Rushing, T. W., (2018), "Performance Prediction Relationships for AM2 Airfield Matting Developed from Full-Scale Accelerated Testing and Laboratory Experimentation", ERDC-GSL Vicksburg United States.

-Rushing, T. W., Garcia, L., & Mason, Q. S., (2014), "Evaluation of Faun MLC-70 Trackway Mat System Under Simulated F-15 Traffic", engineer research and development center vicksburg ms geotechnical and structures lab.

-Rushing, T. W., Garcia, L., Tingle, J. S., Allison, P. G., & Rutland, C. A., (2014), "AM2 3-4 alternate lay pattern evaluation", engineer research and development center vicksburg ms geotechnical and structures lab.

-Rushing, T. W., Garcia, L. I., & Mason, Q. S., (2011), "Large-scale 6-CBR prototype mat system evaluation for the AMX program", [US Army Corps of Engineers, Engineer Research and Development Center], Geotechnical and Structures Laboratory.

-Rushing, T. W & ,Howard, I. L., (2011), "Matting solutions for low-volume roads", Transportation Research Record, 2204(1), pp.92-101 .

-Rushing, T. W., & Howard, I. L., (2015), "Prediction of soil deformation beneath temporary airfield matting systems based on full-scale testing", Journal of Terramechanics, 58, pp.1-9.

-Rushing, T. W., Howard, I. L., Jordon, J. B., & Allison, P. G., (2016), "Laboratory

-MATS, M. A., (2015), <https://www.globalsecurity.org/military/library/policy/army/fm/5-430-00-2/Appn.htm> .

-Mejías-Santiago, M., Valle-Roldan, F. d., & Priddy, L. P., (2010), "Certification tests on cold patch asphalt repair materials for use in airfield pavements", engineer research and development center vicksburg ms geotechnical and structures lab.

-Newman, J., & White, D., (2008), "Rapid assessment of cement and fiber-stabilized soil using roller-integrated compaction monitoring", Transportation Research Record: Journal of the Transportation Research Board (2059), pp.95-102 .

-Oruc, S., Celik, F., & Akpinar, M. V., (2007), "Effect of cement on emulsified asphalt mixtures", Journal of Materials Engineering and Performance, 16(5), pp.578-583 .

-PassiveDefenseOrganaziation, (2012), "Passive Defense Organization Strategic Document".<http://paydarymelli.ir/fa/special.html>

-Priddy, L. P., Tingle, J. S., McCaffrey, T. J., & Rollings, R. S., (2007), "Laboratory and field investigations of small crater repair technologies", engineer research and development center vicksburg ms geotechnical and structures lab.

-Proctor, R., (1933), "Fundamental principles of soil compaction", Engineering News-Record, 111(13).

-Rafalko, S. D., Brandon, T. L., Filz, G. M., & Mitchell, J. K. (2006) "Fiber reinforcement for rapid stabilization of soft clay soils", virginia polytechnic inst and state univ blacksburg dept of civil and environmental engineering.

-Ring, G., (1962), "Correlation of compaction and classification test data", Hwy. Res. Bull., 325, pp.55-75 .

-Robinson, M. C., (1992), "Landing mat development at WES. US Army Corps of Engineers, Builders and Fighters", US Army Engineers in World War II. Washington, DC: US Government Printing Office. Google

Waterways Experiment Station .

- Thompson, A., & Burns, C., (1960), "Criteria for designing runways to be surfaced with landing mat and membrane-type materials", Technical Rep. 3, pp.539.
- Tolbert, R., (1945), "Development of airplane landing mats", Road and Bridges, 83(11), pp.62-64 .
- turner, r., (1965), "engineering tests of t13 plastic airplane landing mat", army engineer waterways experiment station vicksburg ms.
- White Jr, D. W., (1971), "Evaluation of Dow Chemical Company Extruded Aluminum Two-Piece 2-by 12-Ft Landing Mat (MX18-D)", army engineer waterways experiment station vicksburg miss.
- White Jr, D. W., (1973), "Evaluation of Dow Chemical Company Extruded Aluminum 4-Piece 4-by 4-Ft", Landing Mat (mx18-e): army engineer waterways experiment station vicksburg miss.
- White Jr, D. W., (1974), "Evaluation of Dow Chemical Production Extruded Truss-Web Landing Mat", army engineer waterways experiment station vicksburg miss.

Characterization of Fatigue Performance of AM2 Aluminum Airfield Matting", Journal of Materials in Civil Engineering, 28(11), 04016134 .

-Rushing, T. W., & Mason, Q. S., (2008), "AM2 15 CBR subgrade sensitivity test for the rapid parking ramp expansion program", [US Army Corps of Engineers, Engineer Research and Development Center], Geotechnical and Structures Laboratory.

-Rushing, T. W., & Tingle, J. S., (2007), "AM2 and M19 airfield mat evaluation for the rapid parking ramp expansion program", [US Army Corps of Engineers, Engineer Research and Development Center], Geotechnical and Structures Laboratory.

-Rushing, T. W., Torres, N., & Mason, Q. S (2008), "AM2 10 CBR subgrade sensitivity test for the rapid parking ramp expansion program", [US Army Corps of Engineers, Engineer Research and Development Center], Geotechnical and Structures Laboratory.

-Sherman, W., & Hadjidakis, C., (1962), "engineering properties of fine-grained mississippi valley alluvial soils meander belt and backswamp deposits", army engineer waterways experiment station vicksburg miss.

Station., W. E., (1999), "tests on soils samples from bases, air. technical memorandum 3-274. Vicksburg, MS",

A Review of the Bases and Methods of Rapid Pavement Construction of an Airfield in an Emergency

Mohammadreza Shisheboran, M.Sc., Grad., School of Civil Engineering, Iran University of Science and Technology, Tehran, Iran.

Mohammad Golestaneh, M.Sc. Grad., School of Passive Defense, Imam Husain University, Tehran, Iran.

E-mail: kpgolestn@ihu.ac.ir

Received: March 2020-Accepted: September 2020

ABSTRACT

Airports are one of the most important critical centers invaded by the enemy during wars. Therefore, in critical circumstances, the need for rapid development of the airport in order to operate fighter aircraft, military strikes, the transfer of military equipment and manpower and other factors is necessary. This study examines the materials, technologies, and manufacturing methods that have been used to construct the airport so far. For this purpose, rapid soil analysis, rapid quality assurance of soil, requirements for designing aggregate-surfaced airfield pavements, rapid soil stabilization methods for use in the rapid construction of airport pavement, application of the matting systems in rapid construction and development of the helipads, airfield parking ramps and taxiways, runway, hanger, remote pilot aircraft, as well as the feasibility of using cold asphalt mixtures in the rapid construction of airfield parking ramps and taxiways and factors affecting the rutting resistance of cold asphalt mixtures is assessed.

Keywords: Rapid Soil Analysis, Aggregate Surfaced Pavement, Matting Systems, Remote Pilot Aircraft, Cold Mix Asphalt